

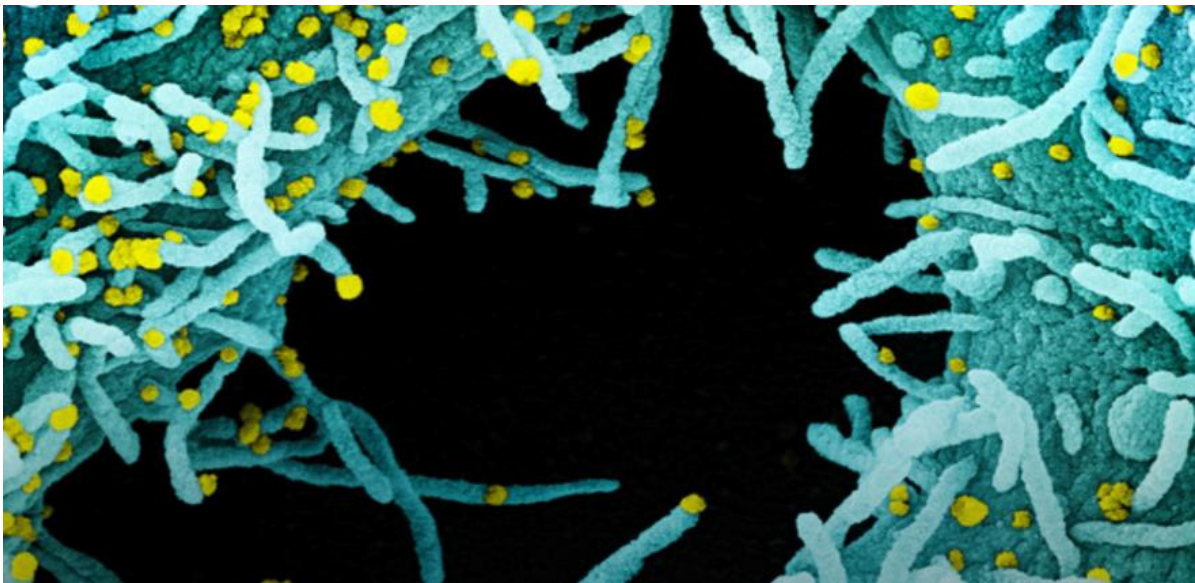
# Composition des pseudo-vaccins

Dr Robert Young – Le 20 août 2021 - Robert O Young CPC, MSc, DSc, PhD, Naturopathic Practitioner - [www.drrobertyoung.com](http://www.drrobertyoung.com)



Études faites par microscopie à contraste de phase, microscopie électronique à transmission et à balayage et spectroscopie à rayons X à dispersion d'énergie.

Ce travail révèle les ingrédients des vaccins contre le CoV-19 !



Les germes sont nés en nous et sortent de nous. Ils ne proviennent pas d'une infection de nos cellules. En d'autres termes, les germes sont les symptômes d'un désordre cellulaire et génétique et ils n'en sont pas la cause.

***Le microbe n'est rien, le terrain est tout !***

Les germes peuvent simplement contribuer à créer un déséquilibre nocif mais ils ne peuvent en aucun cas provoquer la mort ou une maladie.

Dr Robert O. Young.

# TABLE DES MATIÈRES

Résumé.....	3
Méthodologie et techniques .....	3
Microscopie à contraste de phase et à champ sombre du sang vivant.....	4
Sang normal et après inoculation d'ARNm .....	4
Tubes de graphène dans le sang .....	5
Ingrédients non divulgués contenus dans les soi-disant vaccins CoV-19 : Pfizer, Moderna, Astrazeneca et Janssen.....	7
Étapes de l'analyse des fractions aqueuses du vaccin.....	7
Les ingrédients non divulgués du "vaccin" de Pfizer.....	8
La réponse immunitaire aux acides alimentaires, métaboliques, environnementaux et respiratoires, y compris les micro et nano particules organiques et inorganiques inoculées provenant de soi-disant « vaccins » .....	11
La spectroscopie aux rayons X à dispersion d'énergie révèle la présence de rGO dans un vaccin Pfizer [5] [6] [7]...	13
La quantification de l'ARNm dans le vaccin Pfizer.....	14
Test de fluorescence Ultra Violet de la fraction aqueuse de Pfizer pour l'oxyde de graphène réduit (rGO) [5] .....	14
Y a-t-il des parasites dans les "vaccins" de Pfizer ?.....	16
Les ingrédients non divulgués du "vaccin" d'Astrazeneca .....	19
Les ingrédients non divulgués du "vaccin" de Janssen .....	21
L'effet Corona et l'effet protéine Spike. ....	21
Le champ magnétique et l'oxyde de graphène.....	22
Nanoparticules d'oxyde de graphène .....	24
Les ingrédients non divulgués du "vaccin" Moderna .....	25
Discussion .....	28
RÉFÉRENCES.....	35

# Résumé

Il existe actuellement quatre grandes sociétés pharmaceutiques qui fabriquent un vaccin contre le SRAS-CoV-2, maintenant appelé SRAS-CoV-19. Ces fabricants et leurs vaccins sont :

- Pfizer– le vaccin ARNm BioNTech,
- Moderna- le vaccin ARNm Lonza -1273,
- Le vaccin Oxford Astrazeneca du Serum Institute-
- Le vaccin Covid-19 Janssen, fabriqué par Janssen Biotech Inc, une société pharmaceutique Janssen de Johnson & Johnson : un adénovirus recombinant, inapte à la réplication, exprimant la protéine de pointe du SRAS-CoV-2.

L'objectif de ces vaccins est de conférer une immunité contre **le nouveau coronavirus infectieux ou SARS-CoV-2, désormais appelé SARS-CoV-19.**

**Ces quatre sociétés pharmaceutiques n'ont pas fourni de divulgation complète à la FDA sur leur boîte de vaccin, leur fiche d'information ou leur étiquette pour bon nombre des ingrédients majeurs et/ou mineurs contenus dans ces soi-disant vaccins.**

Le but de cet article de recherche est d'identifier les ingrédients majeurs et mineurs spécifiques contenus dans le vaccin Pfizer, le vaccin Moderna, le vaccin Astrazeneca et le vaccin Janssen en utilisant divers tests scientifiques anatomiques, physiologiques et fonctionnels pour chaque vaccin SRAS-COV-2-19. Nous avons effectué les tests scientifiques sur chaque vaccin et avons identifié plusieurs ingrédients ou adjuvants non divulgués qui sont contenus dans ces quatre vaccins contre le SRAS-CoV-2-19.

En vertu des droits de l'homme, régis en droit international par le Code de Nuremberg de 1947, **l'information sur les ingrédients spécifiques du vaccin est essentielle**, requise et nécessaire à connaître pour que tout être humain de n'importe quel pays au monde puisse prendre une décision éclairée quant à son consentement ou non à l'inoculation du SRAS-CoV-2-19.

Actuellement, ces vaccins sont administrés à des millions d'êtres humains dans le monde entier en vertu d'une autorisation d'utilisation d'urgence (EUA) délivrée par chaque pays sans que tous les ingrédients soient divulgués et, dans certains cas, à la demande de gouvernements ou d'employeurs, ce qui constitue une violation des droits de l'homme selon le Code de Nuremberg de 1947.

## Méthodologie et techniques

Quatre "vaccins" ont été analysés, à savoir le vaccin Pfizer-BioNtech, Moderna-Lonza mRNA-1273, Vaxzevria d'Astrazeneca, Janssen de Johnson & Johnson, en utilisant divers instruments et protocoles de préparation selon les nouvelles approches technologiques des nanoparticules.

Ces différents instruments comprennent la microscopie optique, la microscopie à champ clair, la microscopie à contraste de phase, la microscopie à champ sombre, l'absorbance UV et la spectroscopie de fluorescence, la microscopie électronique à balayage, la microscopie électronique à transmission, la spectroscopie à dispersion d'énergie, le diffractomètre à rayons X et les instruments de résonance magnétique nucléaire. Pour les mesures de haute technologie et le soin de l'enquête, tous les contrôles ont été activés et les mesures de référence adoptées afin d'obtenir des résultats validés.

## Microscopie à contraste de phase et à champ sombre du sang vivant

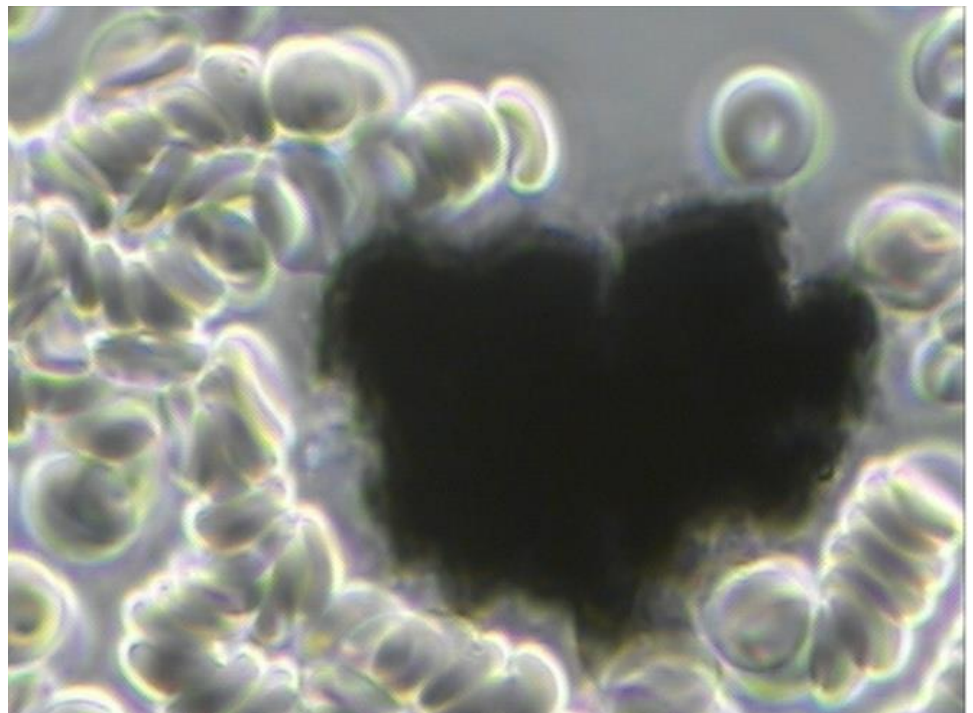
Des images des fractions aqueuses des vaccins ont été obtenues pour évaluer visuellement la présence éventuelle de particules de carbone ou de graphène.

Les observations en microscopie optique ont révélé une abondance d'objets laminaires 2D transparents qui présentent une grande similitude avec les images de la littérature (Xu et al, 2019), et avec les images obtenues à partir de la norme rGO (SIGMA) (Figures 1, 2 et 3).

Des images de grandes feuilles transparentes de taille et de formes variables ont été obtenues, montrant des formes ondulées et plates, irrégulières. Des feuilles plus petites de formes polygonales, également similaires aux flocons décrits dans la littérature (Xu et al, 2019) apparaissent avec la microscopie à contraste de phase et à champ sombre (Figure 3).

Tous ces objets laminaires étaient répandus dans la fraction aqueuse de l'échantillon de sang (Figure 1) ou de vaccin (Figures 2 et 3) et aucun composant décrit par le brevet déposé ne peut être associé à ces feuilles.

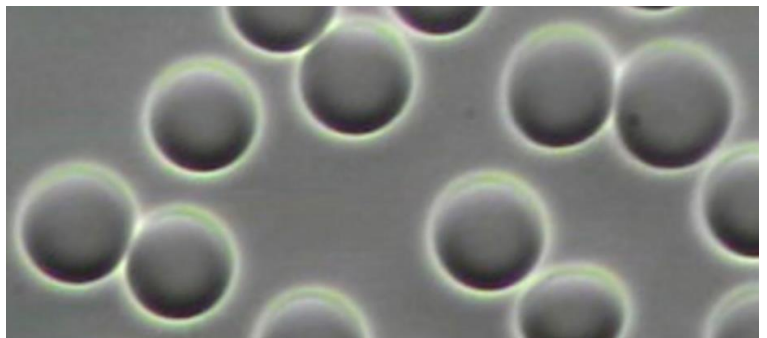
**Figure 1** : vous pouvez voir à quoi ressemble une bombe à fragmentation d'oxyde de graphène réduit (rGO) dans le sang humain vivant non coloré après une inoculation de CoV-19 provoquant une coagulation sanguine pathologique ! [1][2][55][56][57]. C'est une micrographie d'un cluster de carbone : de l'oxyde de graphène réduit (rGO), visualisé dans le sang humain vivant non coloré observé en microscopie à contraste de phase à un grossissement de 1500.

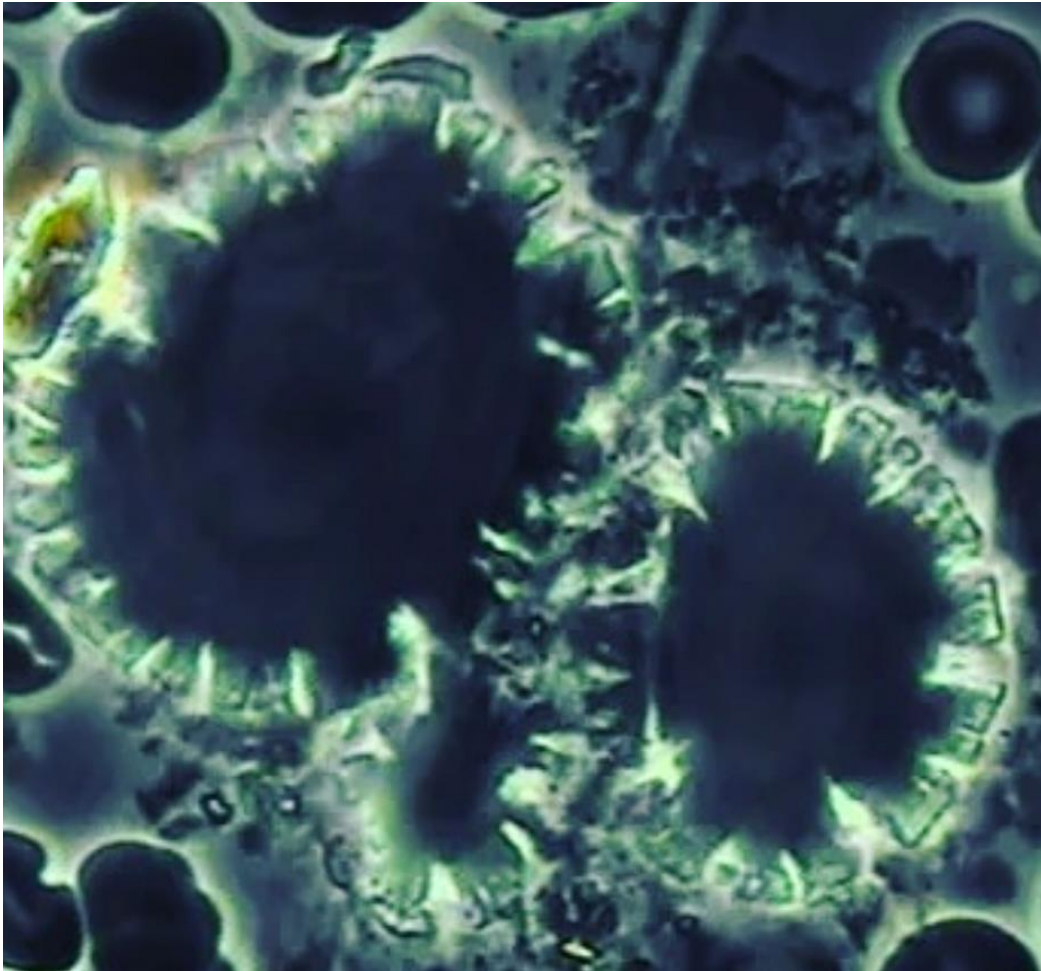


Notez que les globules rouges s'agglomèrent en rouleau dans et autour du cristal rGO !

## Sang normal et après inoculation d'ARNm

**Figure 1a** : micrographie à contraste de phase. Il montre l'état normal des globules rouges similaires en coloration, aspect et taille. Chacun mesure 7 microns de diamètre. Dr Robert O. Young.





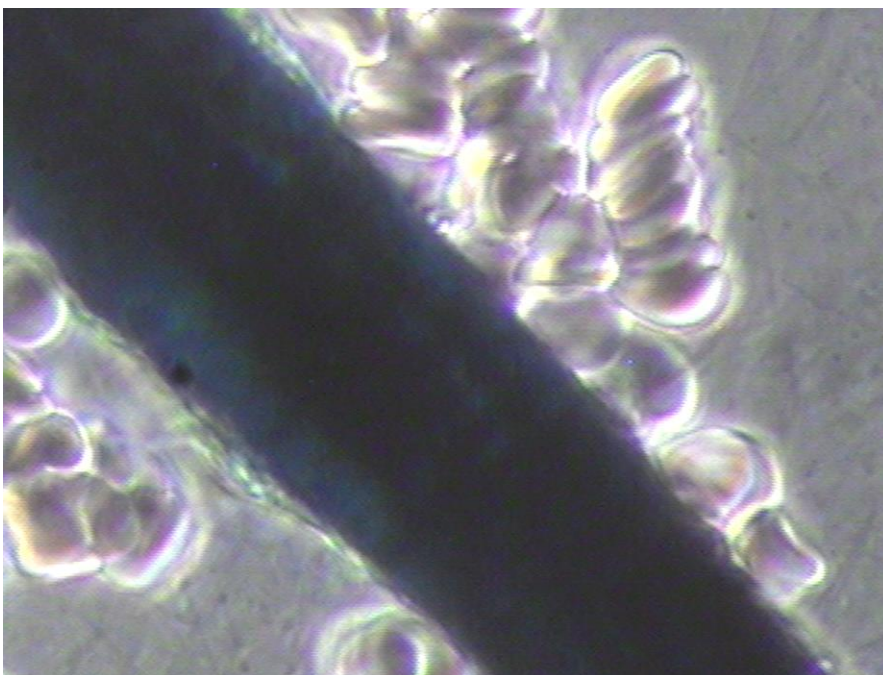
**Figure 1b :**

Micrographie à contrastes de phase montrant du sang vivant 24h après une injection de vaccin ARNm.

Il montre maintenant des globules rouges cristallisés, des globules rouges et blancs transformés biologiquement, et de larges ponts (symplastes) constitués de cristaux d'oxyde de graphène et d'acide orotique au coin supérieur droit de la micrographie. Dr Robert O. Young

## Tubes de graphène dans le sang

Les tubes de graphène à l'échelle du micron ou du nanomètre provoquent une coagulation sanguine pathologique entraînant une hypercapnie, une hypoxie et la mort [73]



**Figure 1c et 1d :** micrographie par contraste de phase d'un nanotube d'oxyde de graphène au milieu de globules rouges coagulés.



# Ingrédients non divulgués contenus dans les soi-disant vaccins CoV-19 : Pfizer, Moderna, Astrazeneca et Janssen

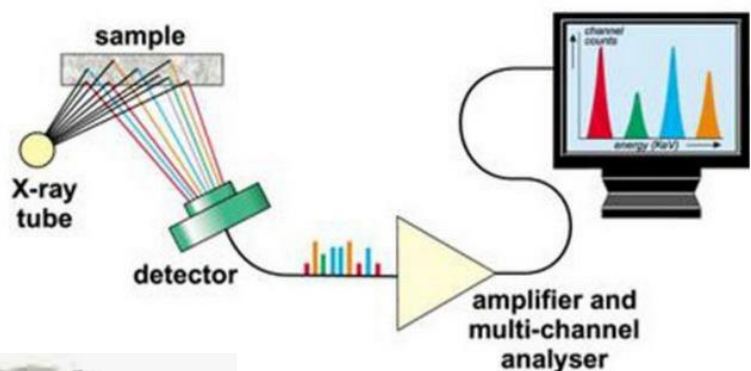
Pour répondre à cette question, une fraction aqueuse des vaccins Pfizer, Moderna, Astrazeneca et Janssen a été prélevée dans chaque flacon, puis examinée séparément sous microscope à contraste de phase à des grossissements de 100x, 600x et 1500x, démontrant la présence de particules d'oxyde de graphène réduit (rGO) qui ont été comparées à des micrographies de rGO de Choucair et al, 2009 pour identification et vérification[3].

## Étapes de l'analyse des fractions aqueuses du vaccin

Les échantillons réfrigérés ont été traités dans des conditions stériles, en utilisant une chambre à flux laminaire et du matériel de laboratoire stérilisé.

Les étapes de l'analyse sont les suivantes :

1. Dilution dans du sérum physiologique stérile à 0,9 % (0,45 ml + 1,2 ml)
2. Fractionnement par polarité : 1,2 ml d'hexane + 120 ul d'échantillon RD1
3. Extraction de la phase aqueuse hydrophile
4. Balayage de l'absorbance UV et de la spectroscopie de fluorescence
5. Extraction et quantification de l'ARN dans l'échantillon
6. Microscopie électronique et optique de la phase aqueuse.



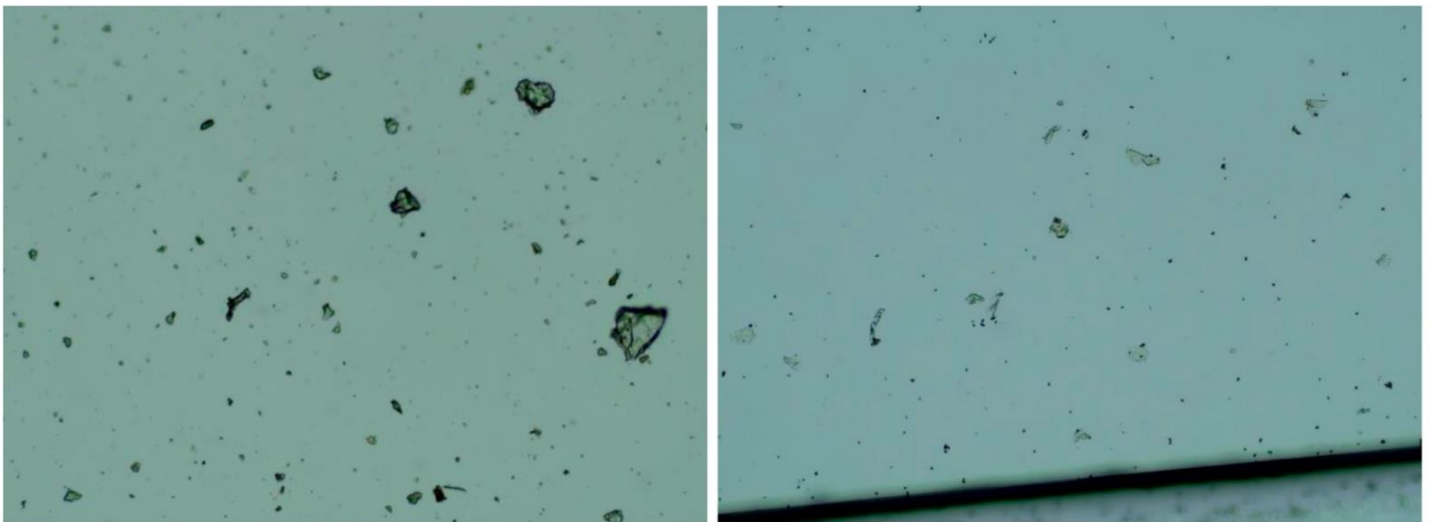
## Les ingrédients non divulgués du “vaccin” de Pfizer

Les micrographies des figures 2 et 3 ont été obtenues par microscopie optique à contraste de phase 100X, 600X et 1500X, à champ sombre et à champ clair [3].

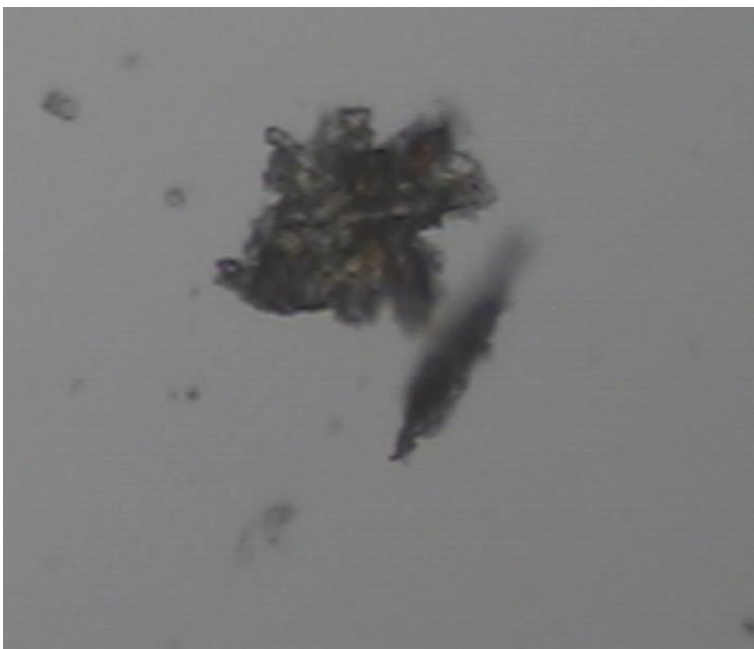
À gauche de chaque micrographie, vous verrez des micrographies obtenues à partir de la fraction aqueuse du vaccin Pfizer contenant du rGO.

À droite de chaque micrographie, vous verrez une correspondance avec des sources connues contenant du rGO, pour la validation anatomique.

Les observations en microscopie à contraste de phase, à champ sombre, à champ clair, en microscopie électronique à transmission et à balayage du produit vaccinal de Pfizer, ainsi que des produits vaccinaux de Moderna, Astrazeneca et Janssen ont révélé certaines entités qui peuvent être des bandes de graphène, comme le montre la figure 3 ci-dessous.



**Figure 2** ci-dessus : image de la fraction aqueuse de l'échantillon de vaccin Pfizer (à gauche) et de l'oxyde de graphène réduit (rGO) standard (à droite) (Sigma-777684). Microscopie optique, grossissement 1000 fois.

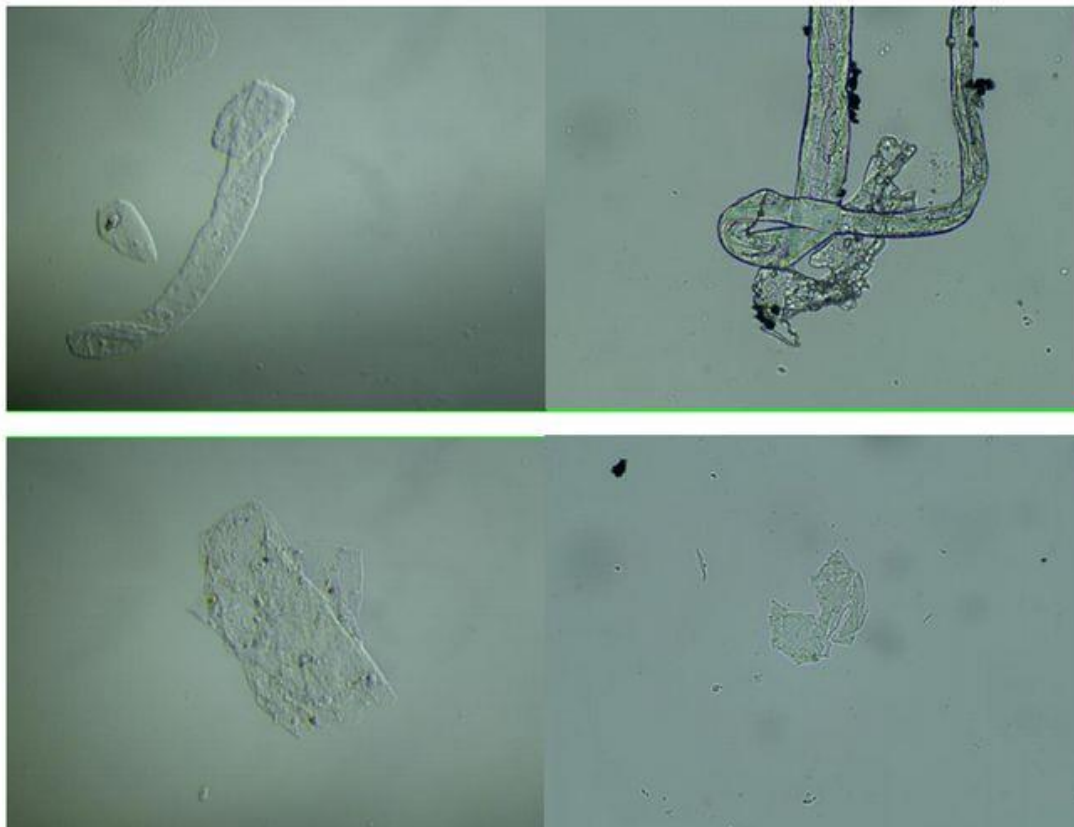


**Figure 2a** : image de fraction aqueuse de 0,5 ml d'un échantillon de vaccin Pfizer vue sous microscopie à contraste de phase à un grossissement de 1000, montrant un symplaste d'oxyde de graphène (en haut à gauche) à côté d'un parasite Trypanosoma cruzi (en bas à droite). Dr Robert O. Young



**Figure 2b :** Image de fraction aqueuse de 0,5 ml d'un échantillon de vaccin Pfizer vue sous microscopie à contraste de phase grossi 1000 fois, montrant un symplaste d'oxyde de graphène (en haut à gauche) et un parasite non identifié (en bas à droite). Dr Robert O. Young

**Figure 2c :** image de fraction aqueuse de 0,5 ml d'un échantillon de vaccin Pfizer vue sous microscopie à contraste de phase grossi 1000 fois, montrant un ruban d'oxyde de graphène. Dr Robert O. Young

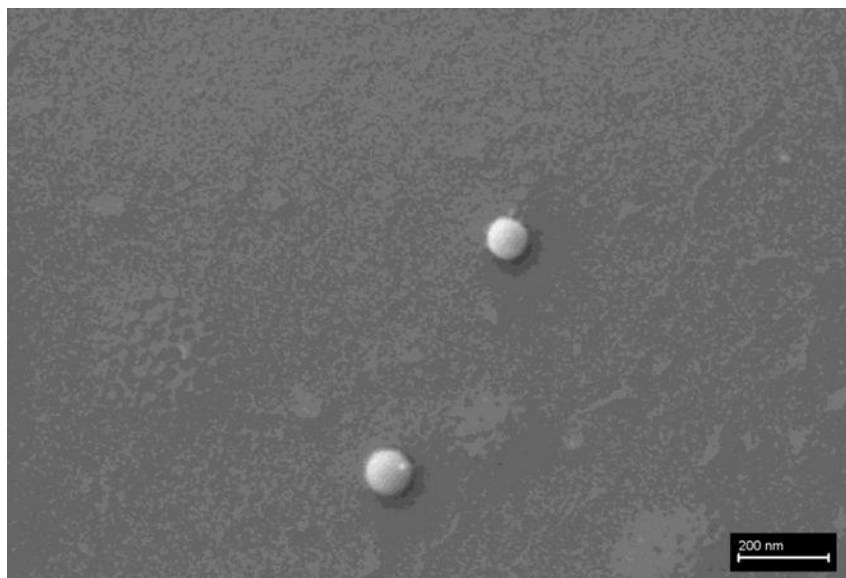


**Figure 3 :** Images de fraction aqueuse contenant de l'oxyde de graphène réduit provenant d'un échantillon de vaccin Pfizer (à gauche) et de l'étalon d'oxyde de graphène réduit (rGO) soniqué (à droite) (Sigma-777684). Microscopie optique à contraste de phase, grossissement 600X.

En outre, le rapport Mues-

aqueuse ; Delgado Martin, Campra Madrid confirme nos conclusions. <https://cen.acs.org/articles/86/i4/Graphene-Ribbons.html> et <https://cen.acs.org/articles/86/i4/Graphene-Ribbons.html> [4][73][ 74] [83]]

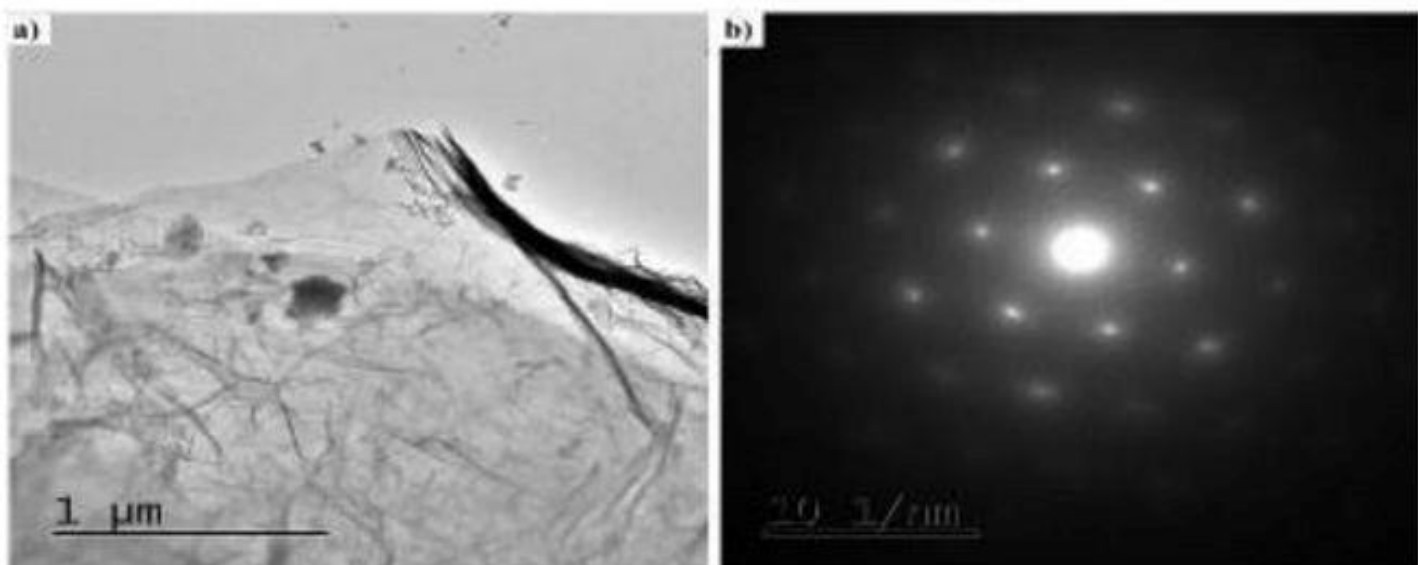
**Figure 4** : capsides de liposomes contenant le rGO que Pfizer utilise pour son produit pour véhiculer l'oxyde de graphène en attachant la capsides de liposome à des molécules d'ARNm spécifiques pour conduire le contenu du liposome de rGO vers des organes spécifiques : glandes et tissus et particulièrement les ovaires et testicules, la moelle osseuse, le cœur et le cerveau. L'image a été obtenue par une préparation SEM-Cryo.



Pour une identification définitive du graphène par TEM, il était nécessaire de compléter l'observation par une caractérisation structurale en obtenant

un échantillon standard caractéristique par diffraction électronique (comme la figure 'b' montrée ci-dessous).

L'échantillon standard correspondant au graphite ou au graphène a une symétrie hexagonale, et présente généralement plusieurs hexagones concentriques.



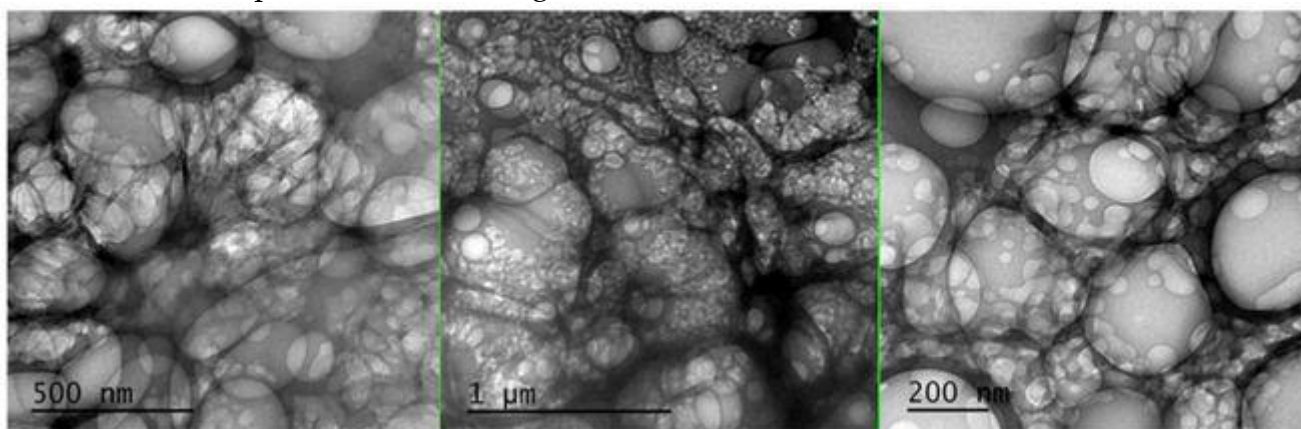
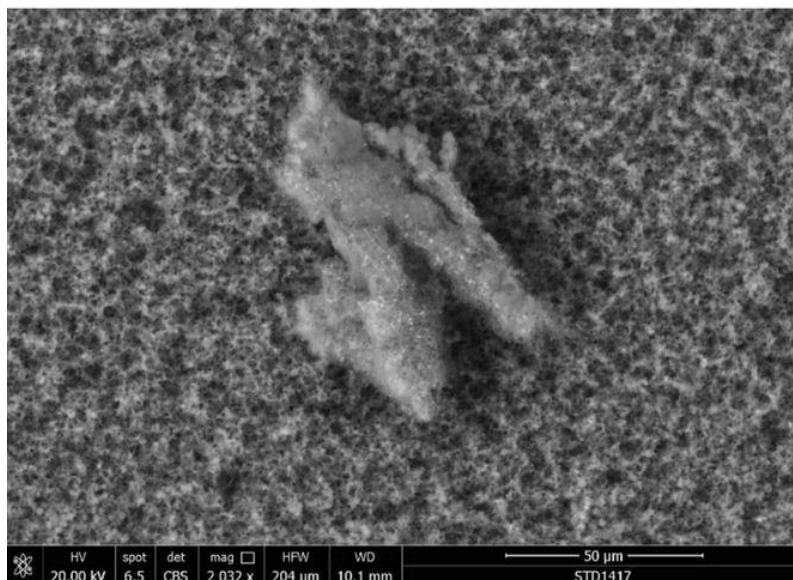
**Figure 4b** : diagramme de diffraction par les rayons X des particules de graphène. Identification définitive de l'oxyde de graphène par microscopie TEM dans les 4 vaccins CoV-2-19

En utilisant la microscopie électronique à transmission (MET), nous avons observé une matrice ou un maillage complexe de feuilles de rGO flexibles, translucides et pliées, avec un mélange d'agglomérations multicouches plus sombres et de monocouches dépliées de couleur plus claire, comme le montre la figure 5. [3] [4]

**Figure 5** : amas de nanoparticules de graphène dans un vaccin Pfizer. Elles semblent être agrégées.

Les zones linéaires plus sombres de la figure 5 semblent être un chevauchement local des feuilles et un arrangement local des feuilles individuelles parallèlement au faisceau d'électrons [5].

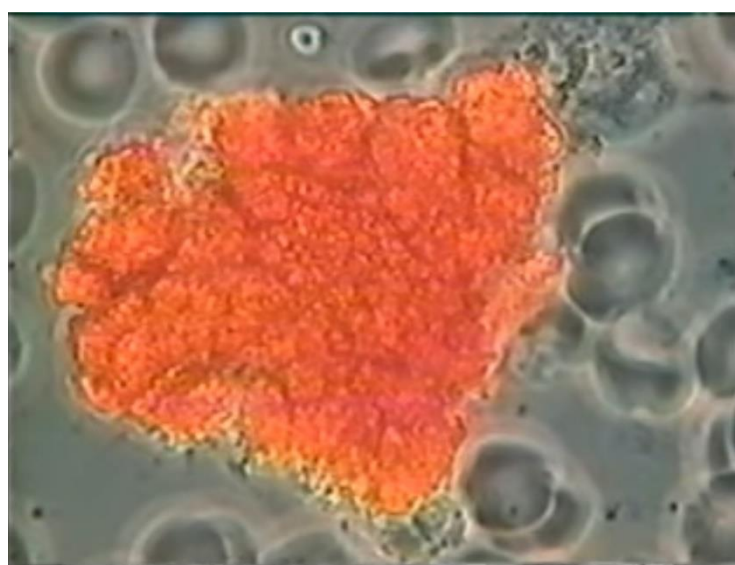
Après le maillage, une forte densité de formes claires arrondies et elliptiques non identifiées apparaît, correspondant peut-être à des trous générés par le forçage mécanique du maillage rGO pendant le traitement, comme on peut le voir sur la figure 6.[4] [5].



**Figure 6** : observation en microscopie TEM où l'on retrouve des particules d'oxyde de graphène réduit dans un vaccin Pfizer". La diffractométrie des rayons X révèle leur nature de nanoparticules cristallines de rGO à base de carbone. Cette preuve a été initialement trouvée par Muestra RD1 et publiée dans le rapport La Quinta Columna, 28 juin 2021 ; Détection d'oxyde de graphène en suspension aqueuse ; Delgado Martin, Campra Madrid et . [4][73][74][83]]

### La réponse immunitaire aux acides alimentaires, métaboliques, environnementaux et respiratoires, y compris les micro et nano particules organiques et inorganiques inoculées provenant de soi-disant « vaccins »

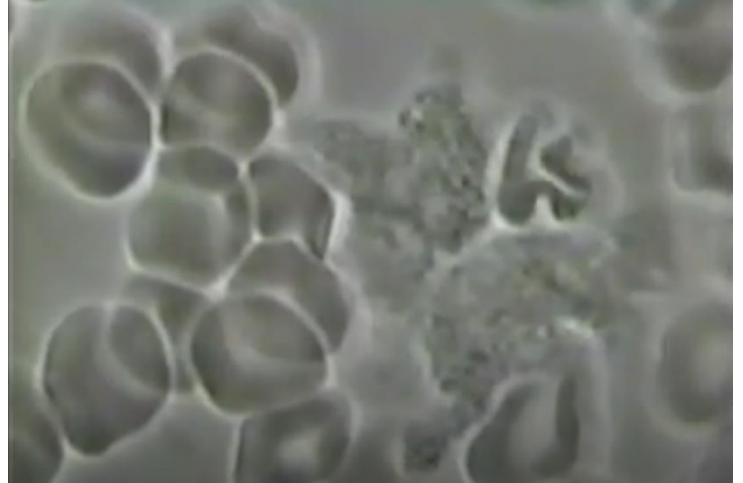
Le cristal de sang orange vif ci-contre est de l'acide urique solidifié provenant de l'ingestion d'un régime riche en protéines à partir de chair animale, de sang et de fluides interstitiels. Vous remarquerez que plusieurs neutrophiles tentent de



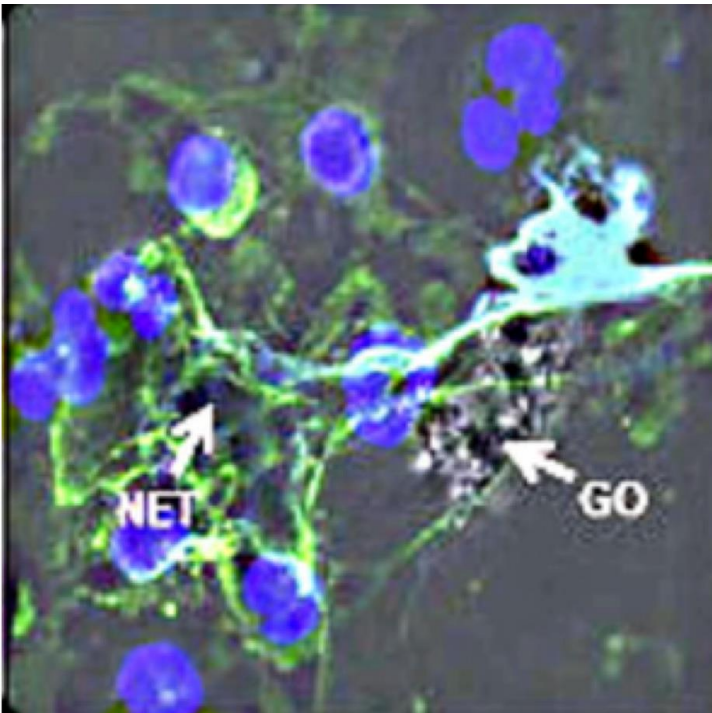
nettoyer et d'éliminer cette masse toxique. C'est le but principal des globules blancs qui est de gérer et de maintenir le délicat équilibre du pH alcalin des fluides corporels.

En regardant la vidéo <[https://youtu.be/yKONi\\_hDsfE](https://youtu.be/yKONi_hDsfE) Dr. Robert O. Young - Profils en microscopie médicale, Hikari Omni Publishing, 1987-2021>, vous voyez deux neutrophiles (les neutrophiles représentent les 2/3 du nombre total de globules blancs) nageant dans le plasma sanguin. Le neutrophile de gauche se déplace vers le bas pour capter une transformation biologique d'une levure de forme Y, comme *Candida albicans*. Dans environ une minute, vous verrez ce neutrophile expulser cette levure de forme Y hautement toxique dans le plasma sanguin.

Deux neutrophiles traversant le plasma sanguin ramassant des agents pathogènes ou des transformations biologiques des bactéries et des levures à partir de la dégénérescence cellulaire de ce qui était autrefois des cellules saines du corps. Dr Robert O. Young - Profils en microscopie médicale, Hikari Omni Publishing, 1987-2021



La fonction principale des neutrophiles est de récupérer les micro et nano particules organiques et non organiques, telles que l'acide lactique, l'acide urique, les bactéries, les levures, les moisissures et même l'oxyde de graphène, comme le montre la micrographie ci-dessous intitulée GO vers la droite et un neutrophile marqué NET à gauche.

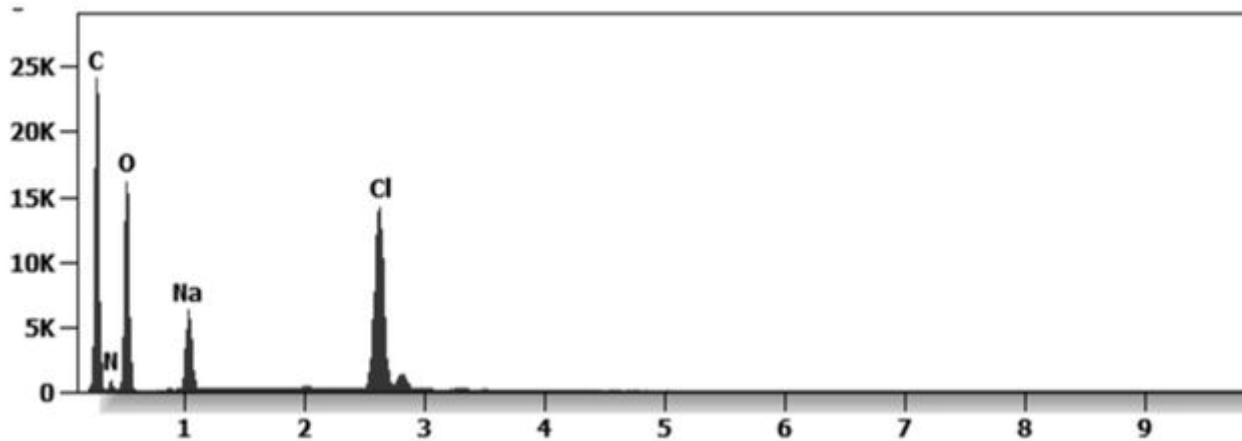


Encore une fois, les neutrophiles sont des globules blancs qui tentent d'isoler, puis de prélever et d'éliminer l'oxyde de graphène, un agent pathogène acide toxique qui est contenu dans tous les vaccins CoV - 2 - 19, comme le montre la microscopie à champ sombre ci-dessous !

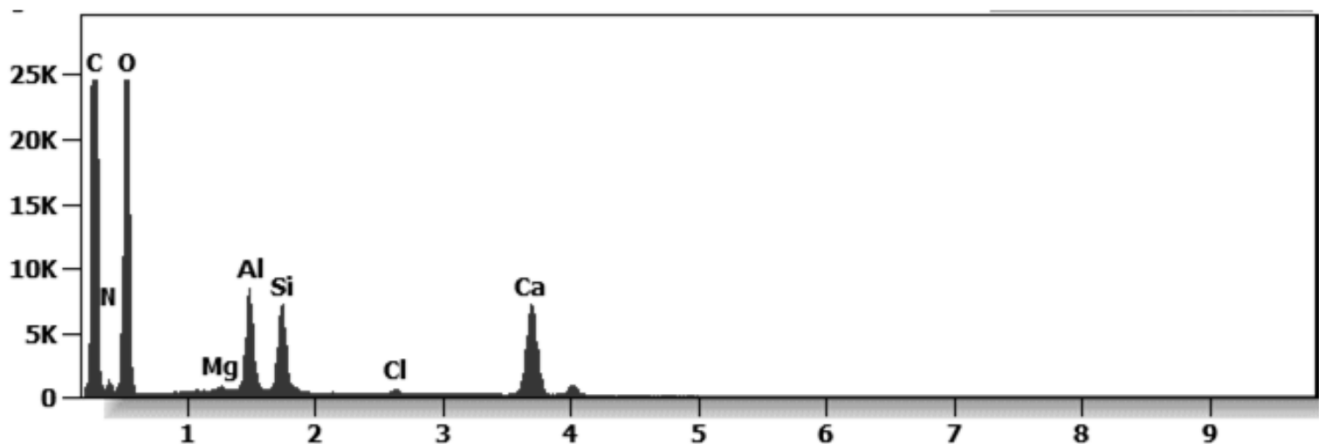
La micrographie ci-contre montre l'oxyde de graphène (GO) et l'empoisonnement et la destruction des neutrophiles (NET - qui représentent plus de 60% de tous les globules blancs) qui sont conçus pour ramasser et éliminer les déchets chimiques et biologiques toxiques étrangers. Les scientifiques du Karolinska Institute, de l'Université de Manchester, de l'Université de technologie Chalmers et de l'équipe scientifique du Dr Robert O. Young ont montré que le système immunitaire humain gère l'oxyde de graphène de la même manière que les bactéries, les levures ou les moisissures.[83]

## La spectroscopie aux rayons X à dispersion d'énergie révèle la présence de rGO dans un vaccin Pfizer [5] [6] [7].

Le contenu chimique et élémentaire de la fraction liquide du vaccin Pfizer a ensuite été analysé par spectroscopie à rayons X à dispersion d'énergie (EDS), comme le montre la figure 6. Le spectre EDS a montré la présence de carbone, d'oxygène, vérifiant les éléments rGO, ainsi que de sodium et de chlorure, puisque les échantillons des figures 2, 3, 5 et 6 ont été dilués dans une solution saline.



**Figure 7** : spectre EDS d'un "vaccin" Pfizer sous un microscope ESEM couplé à une microsonde à rayons X EDS (axe X =KeV, axe Y =Comptes) identifiant le carbone, l'oxygène, le sodium et le chlorure.



**Figure 7a** : spectre d'un « vaccin » Pfizer nanoparticulaire d'oxyde de graphène, de magnésium, d'aluminium, de silicium, de chlorure et de calcium identifié sous un microscope ESEM couplé à une microsonde à rayons X EDS. (axe X = KeV, axe Y = comptes) [75][83]

## La quantification de l'ARNm dans le vaccin Pfizer

La quantification de l'ARN dans l'échantillon Pfizer a été effectuée selon les protocoles conventionnels (Fisher).

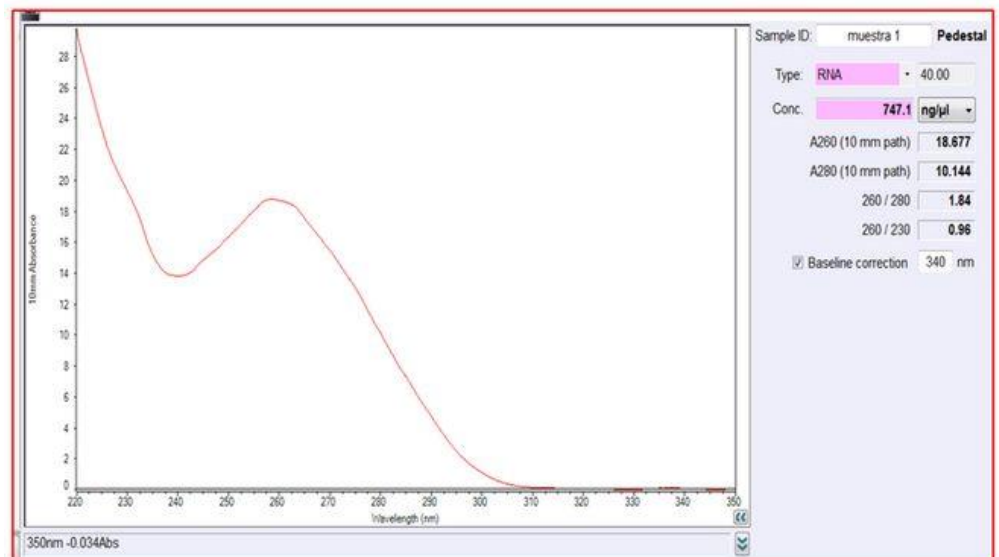
Selon le logiciel spécifique de vérification de l'étalonnage du spectrophotomètre NanoDrop™ 2000 (Thermofisher), le spectre d'absorption UV de la fraction aqueuse totale était corrélé à 747 ng/ul de substances absorbantes inconnues.

Cependant, après extraction de l'ARN à l'aide d'un kit commercial (Thermofisher), la quantification à l'aide de la sonde de fluorescence Qbit spécifique à l'ARN (Thermofisher) a montré que seuls 6t ug/ul pouvaient être liés à la présence d'ARN. Le spectre était compatible avec le pic du rGO à 270nm.

Selon les images microscopiques présentées ici, la majeure partie de cette absorbance pourrait être due à des feuilles de type graphène, abondantes dans les fluides en suspension dans l'échantillon.

Ces conclusions sont également étayées par la forte fluorescence de l'échantillon, avec un maximum à 340 nm, en accord avec les valeurs de pic pour le rGO. Il faut rappeler que l'ARN ne présente pas de fluorescence spontanée sous exposition aux UV.

**Figure 8** : Spectre UV de la fraction aqueuse de l'échantillon de vaccin Pfizer. [1] [2] [3] [5] [6]

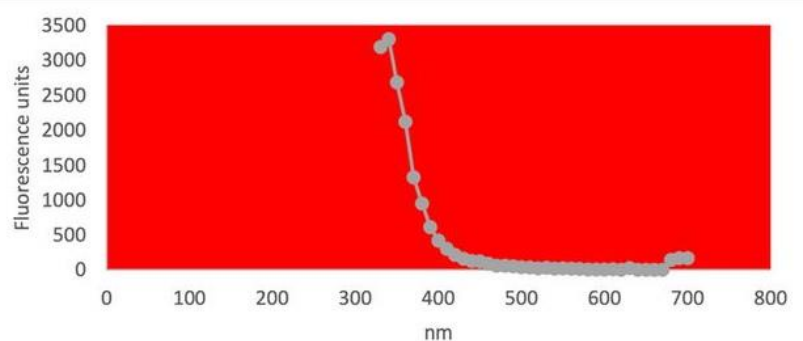


## Test de fluorescence Ultra Violet de la fraction aqueuse de Pfizer pour l'oxyde de graphène réduit (rGO) [5]

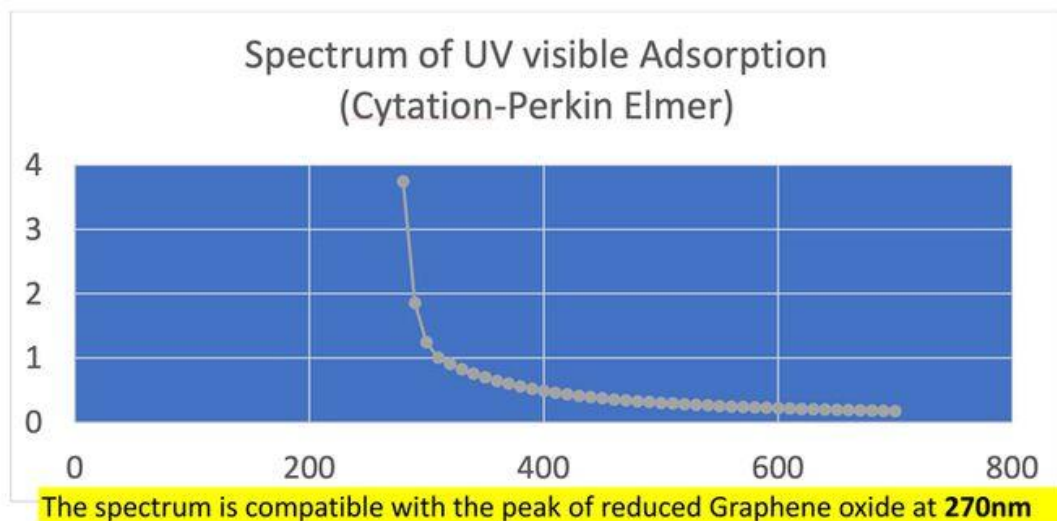
Les spectres d'absorption et de fluorescence ultraviolets ont été obtenus avec le spectrophotomètre Cytation 5 Cell Imaging Multi-Mode Reader (Biotek). Le spectre d'absorption UV a confirmé un pic maximum à 270nm, compatible avec la présence de particules de rGO.

Le maximum de fluorescence UV à 340 nm suggère également la présence de quantités importantes de rGO dans l'échantillon (Bano et al, 2019).

**Figure 9** - Les spectres d'absorption UV et de fluorescence ont été obtenus avec le spectrophotomètre Cytation 5 Cell Imaging Multi-Mode Reader (Biotek). Le spectre d'absorption UV a confirmé un pic maximal à 270 nm, compatible avec la présence de rGO. Le maximum de fluorescence UV à 340 nm suggère également la présence de quantités importantes de rGO dans l'échantillon (Bano et al, 2019).

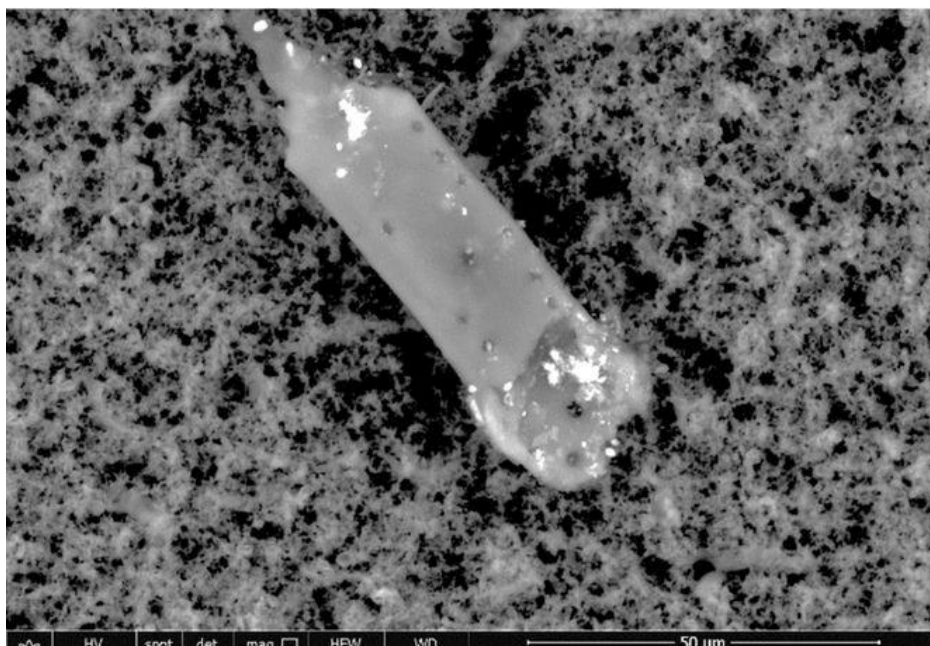


**Figure 10** : L'analyse spectroscopique UV a montré une adsorption due à la présence d'oxyde de graphène réduit, ce qui est confirmé par l'observation en microscopie visible ultraviolette.

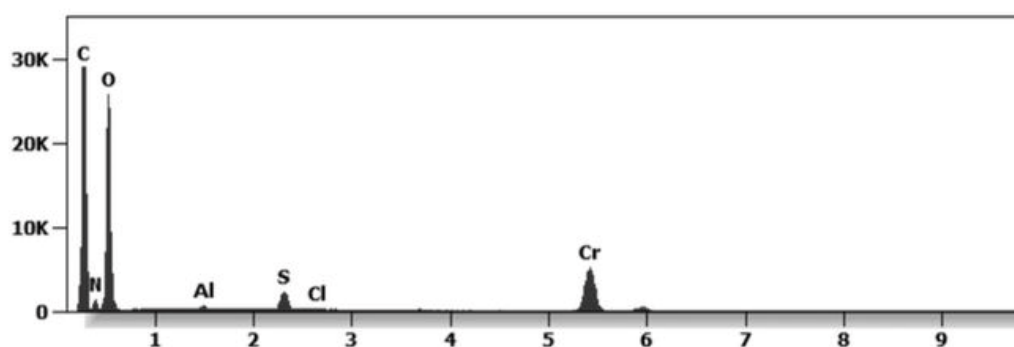


Les figures 11 et 12 ci-dessous montrent une micrographie de différentes micro et nano particules qui ont été identifiées dans les vaccins Pfizer, Moderna, Astrazeneca et Janssen, dits "vaccins" et analysées sous un microscope électronique à balayage environnemental (SEM) couplé à une microsonde à rayons X d'un système dispersif en énergie (EDS) qui révèle la taille des particules, la distribution de la composition et la nature chimique des micro et nano particules observées[5][6][7].

**Figure 11** : débris de 20 microns de longueur identifiés dans le soi-disant "vaccin" Pfizer contenant du carbone, de l'oxygène, du chrome, du soufre, de l'aluminium, du chlorure et de l'azote.



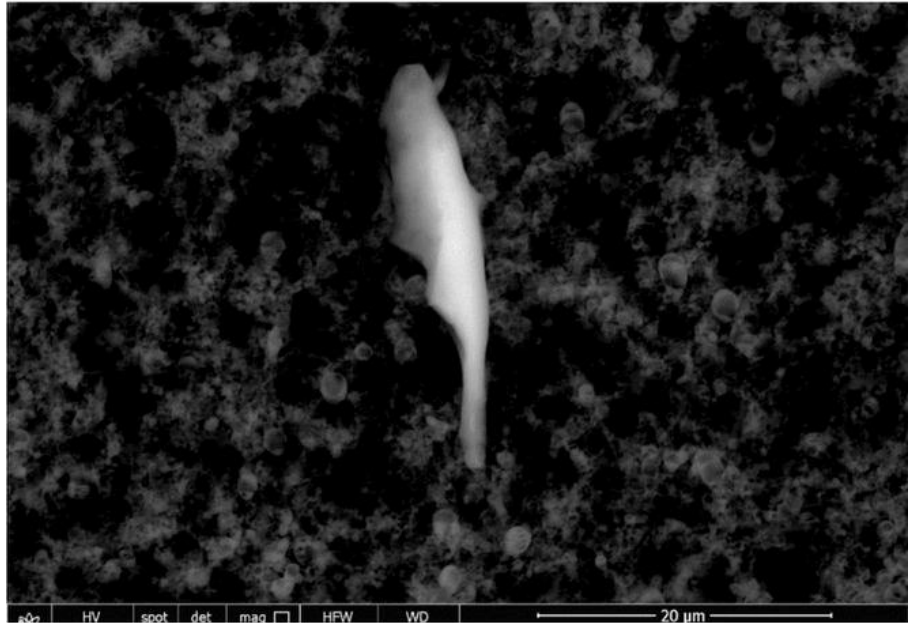
**Figure 12** : particule de 20 microns de longueur identifiée dans le soi-disant "vaccin" Pfizer. Elle est composée de carbone, d'oxygène de chrome, de soufre, d'aluminium, de chlorure et d'azote.



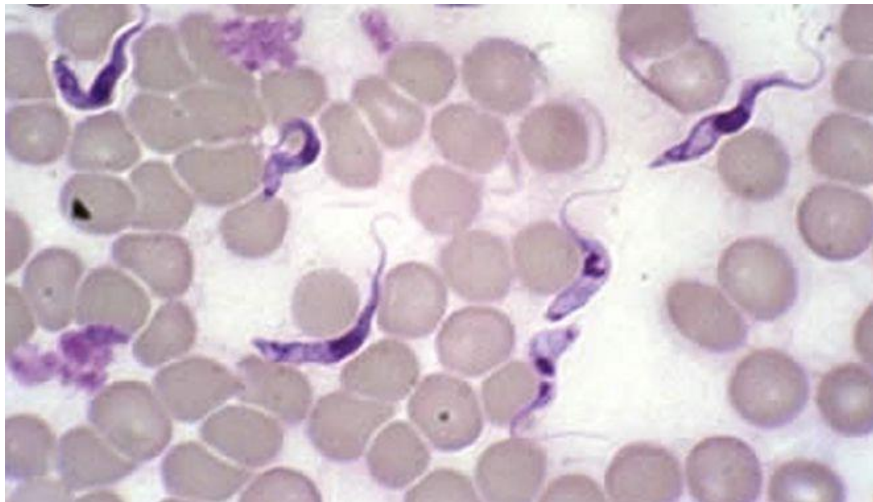
Les figures 13 et 14 ci-dessous montrent une micrographie de différentes micro et nanoparticules qui ont été identifiées dans les vaccins Pfizer, Moderna, Astrazeneca et Janssen et analysées au microscope électronique à balayage (MEB) couplé à une microsonde à rayons X d'un système à dispersion d'énergie (SDE) qui révèle la taille des particules, la distribution de la composition et la nature chimique des micro et nanoparticules observées.

## Y a-t-il des parasites dans les "vaccins" de Pfizer ?

Un corps allongé de 50 microns, comme on peut le voir sur la figure 13, est une présence mystérieuse et nette dans le vaccin Pfizer. Il apparaît et est identifié anatomiquement comme un parasite *Trypanosoma cruzi* dont plusieurs variantes sont létales et constituent l'une des nombreuses causes du syndrome d'immunodéficience acquise ou SIDA [Atlas of Human Parasitology, 4e édition, Lawrence Ash et Thomas Orithel, pages 174 à 178] [8].



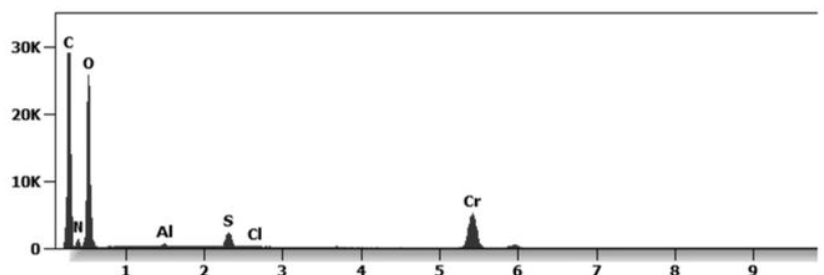
**Figure 13** : parasite *Trypanosoma* d'environ 50 microns de long trouvé dans le soi-disant "vaccin" Pfizer. Il est composé de carbone, d'oxygène, de chrome, de soufre, d'aluminium, de chlorure et d'azote. [83]



**Figure 13a** : micrographie par microscopie à contraste de phase : parasite *Trypanosoma cruzi* [8] vivant dans du sang [9][83]

La figure 14 montre la composition de cette nanoparticule comprenant du carbone, de l'oxygène, du chrome, du soufre, de l'aluminium, du chlorure et de l'azote, que l'on retrouve également dans les "vaccins" CoV-19.

**Figure 14** : composition de cette nanoparticules



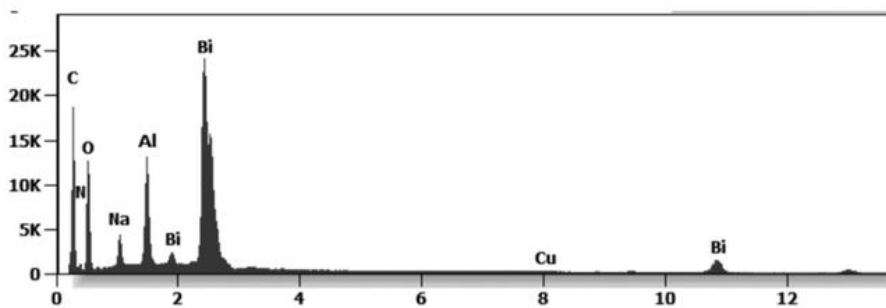
Les figures 15 et 16 ci-dessous montrent une micrographie de différentes micro et nanoparticules qui ont été identifiées et analysées sous un microscope électronique à balayage (MEB) environnemental couplé à une microsonde à rayons X d'un système à dispersion d'énergie (SDE) qui révèle la nature chimique des micro et nanoparticules observées et leur morphologie.

La particule blanche de 2 microns de long est composée de bismuth, carbone, oxygène, aluminium, sodium, cuivre et azote.



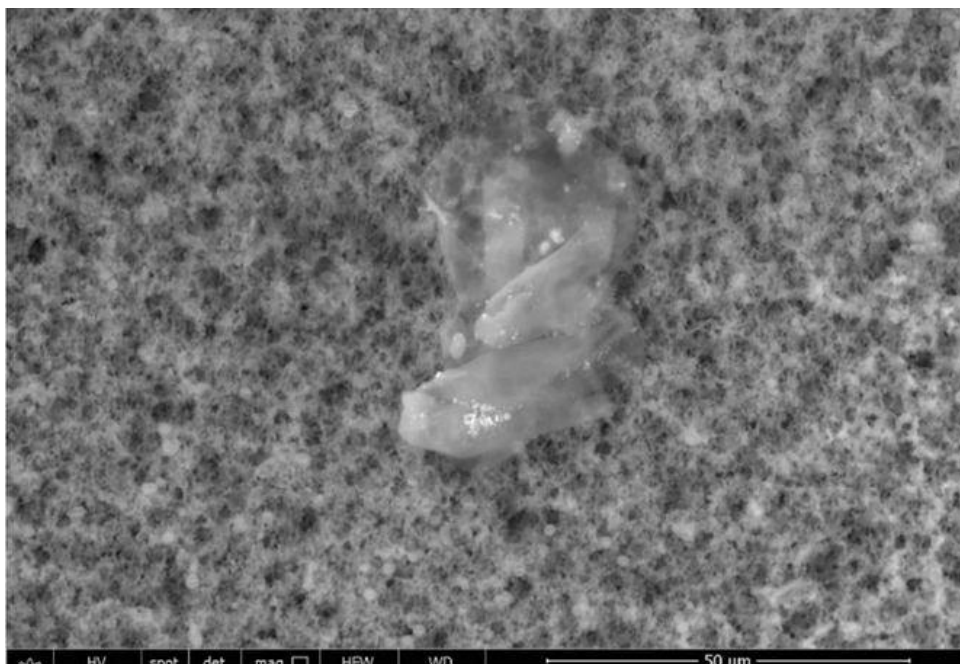
**Figure 15** : particules de taille nanométrique et micronique identifiées dans le "vaccin" Pfizer. La particule blanche de 2 microns de long est composée de bismuth, carbone, oxygène, aluminium, sodium, cuivre et azote.

**Figure 16** : la particule blanche de 2 microns trouvée dans le "vaccin" Pfizer est composée de bismuth, de carbone, d'oxygène, d'aluminium, de sodium, de cuivre et d'azote.

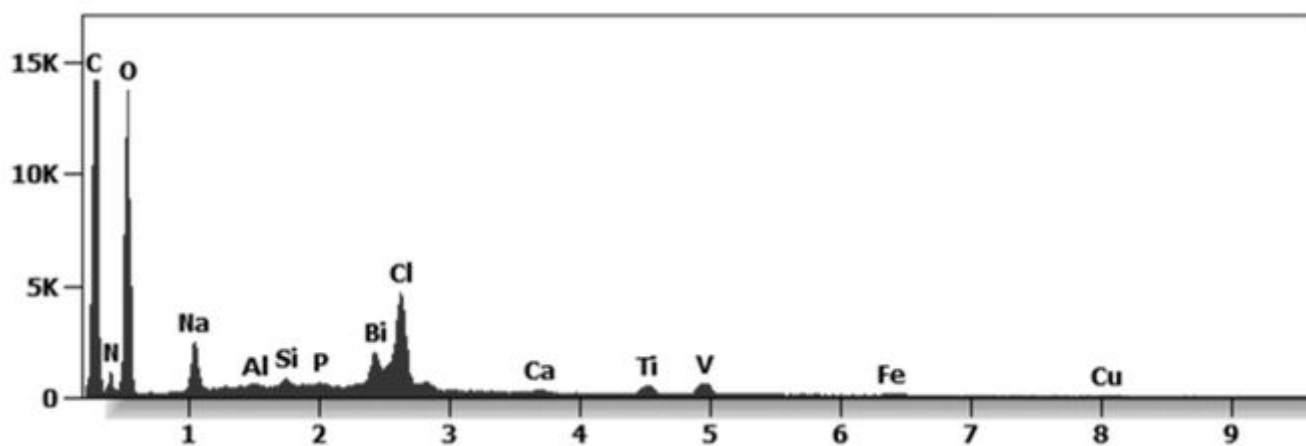


Les figures 17 et 18 mettent en évidence des particules organiques de carbone, d'oxygène et d'azote avec un agrégat de nanoparticules incorporées comprenant du bismuth, du titane, du vanadium, du fer, du cuivre, du silicium et de l'aluminium, qui ont toutes été trouvées dans le soi-disant "vaccin" Pfizer.

**Figure 17** : agrégat organique (carbone-oxygène-azote) avec des nanoparticules de bismuth, de titane, de vanadium, de fer, de cuivre, de silicium et d'aluminium incorporées dans le "vaccin" Pfizer.



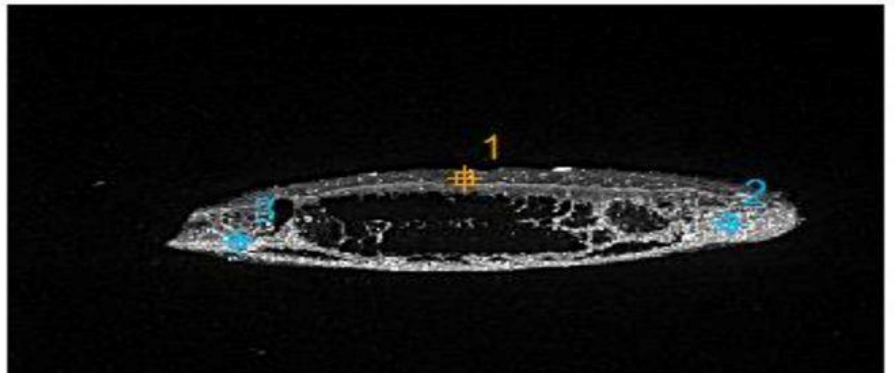
**Figure 18** : spectrographie de nanoparticules de bismuth, de titane, de vanadium, de fer, de cuivre, de silicium et d'aluminium incorporées dans un "vaccin" Pfizer !



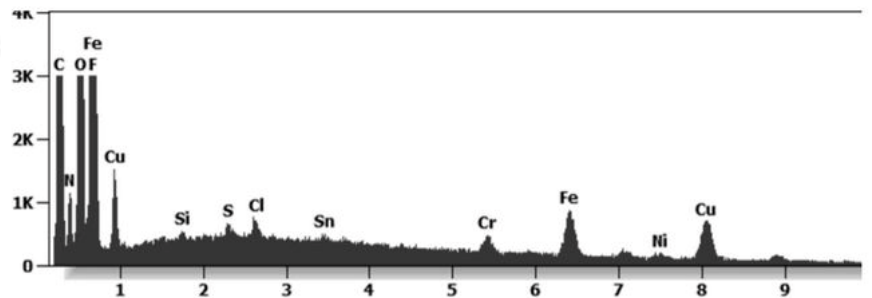
## Les ingrédients non divulgués du “vaccin” d’Astrazeneca

Les figures 19 et 20 montrent un agrégat de fer, de chrome et de nickel, également connu sous le nom d’acier inoxydable, composé de micro et nanoparticules incorporées et identifiées dans le “vaccin” d’Astrazeneca, observé au microscope électronique à transmission (MET) et quantifié à l’aide d’une microsonde à rayons X d’un système à dispersion d’énergie qui révèle la nature chimique des micro et nanoparticules observées et leur morphologie.

**Figure 19** - Agrégat manufacturé de fer, de chrome et de nickel, également connu sous le nom d’acier inoxydable.



**Figure 20** : particules de nano quantifiées dans le “vaccin” Astrazeneca à l’aide d’une microsonde à rayons X d’un système à dispersion d’énergie qui révèle la nature chimique des micro et nanoparticules observées.

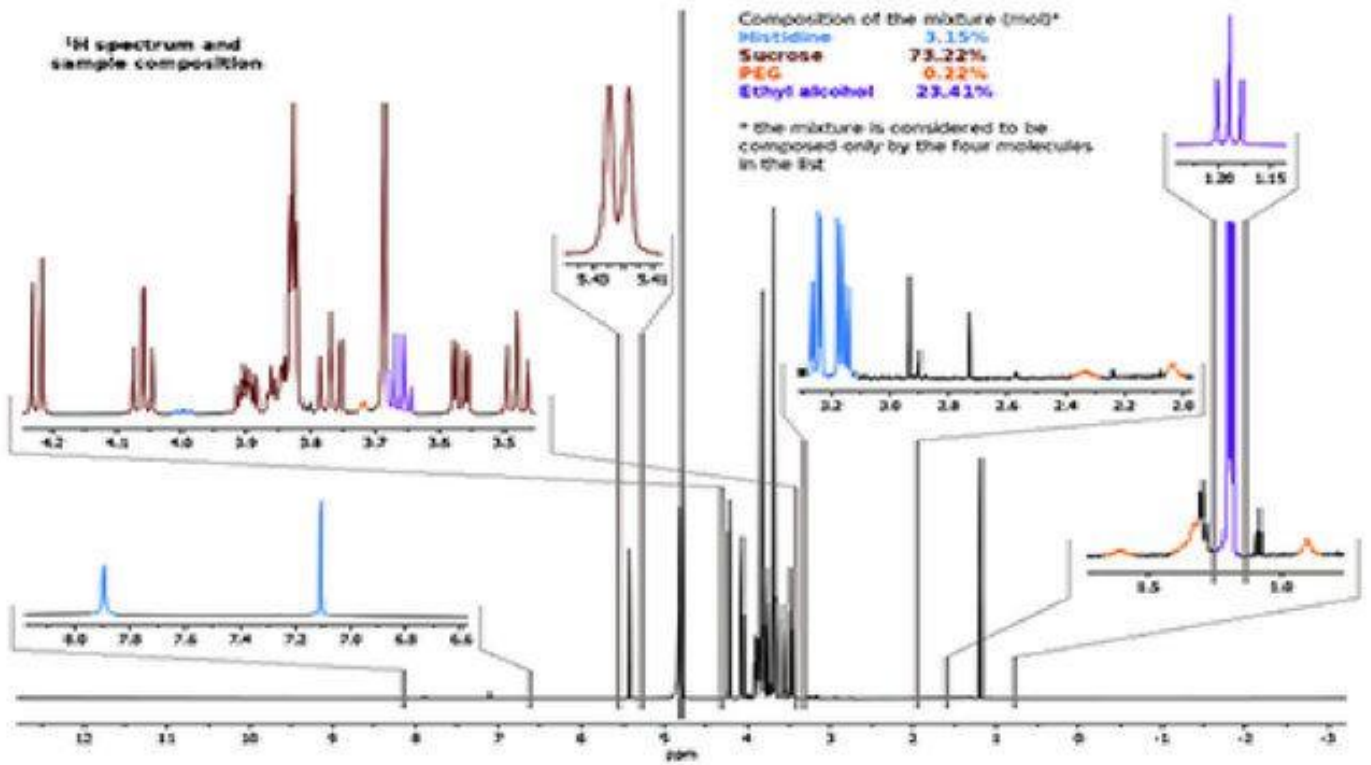


L’instrument XRF (X-ray fluorescence) a été utilisé pour évaluer les adjuvants du “vaccin” Astrazeneca, ce qui a permis d’identifier les molécules suivantes : histidine, saccharose, polyéthylène glycol (PEG) et alcool éthylénique, également contenues dans les “vaccins” Pfizer et Moderna. Les résultats de ce test sont présentés figure 20 [9].

Le PEG et l’alcool éthylénique sont tous deux connus pour être cancérogènes et génotoxiques[9].

La figure 21 identifie le spectre des adjuvants des vaccins AstraZeneca. Des couleurs différentes sont utilisées pour les quatre molécules identifiées à l’aide de spectres de référence. La concentration relative est calculée sur les intégrales des signaux de référence pour les molécules dans un spectre quantitatif acquis avec un rapport cyclique de 5 secondes. Le plus long T1 calculé étant de 5 secondes

**Figure 21** : Spectre des adjuvants de vaccins AstraZeneca. Différentes couleurs sont utilisées pour les quatre molécules identifiées au moyen de spectres de référence. La concentration relative est calculée sur des intégrales de signaux de référence pour molécules dans un spectre quantitatif acquis avec un rapport cyclique de 5 secondes avec le T1 calculé le plus long était de 5 sec. Le PEG était le seul adjuvant déclaré sur la fiche technique énumérant les ingrédients du "vaccin" AstraZeneca, mais contenu dans les "vaccins" Pfizer et Moderna.

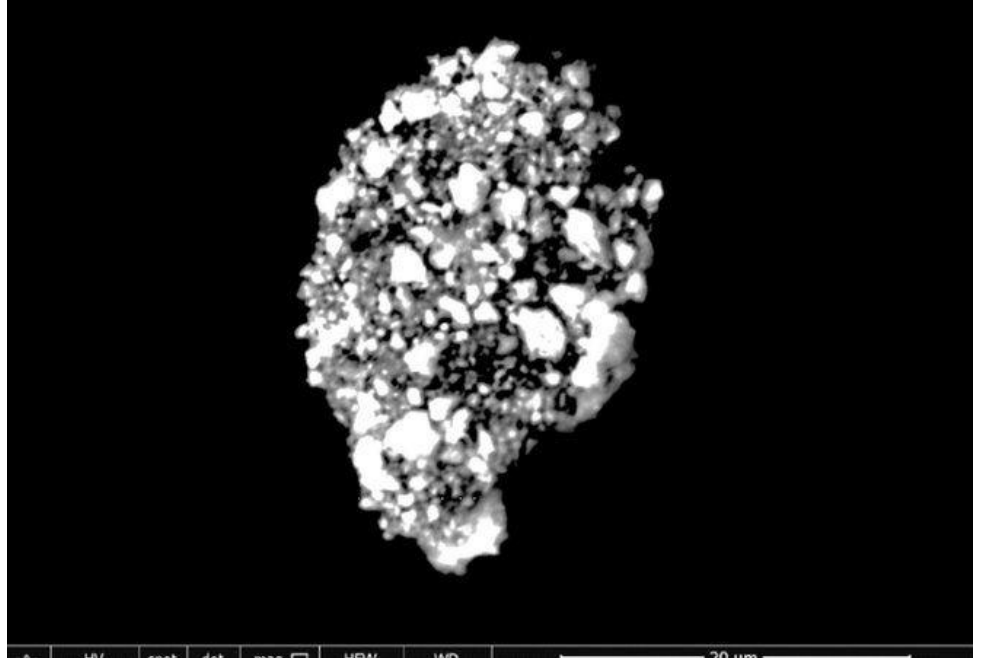


## Les ingrédients non divulgués du “vaccin” de Janssen

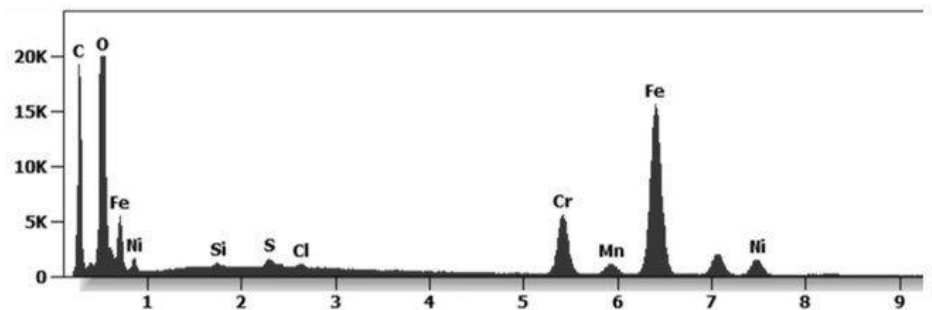
Les figures 22 et 23 montrent un agrégat organique-inorganique identifié dans le “vaccin” de Janssen. Les particules sont composées d’acier inoxydable et sont collées ensemble avec une “colle à base de carbone” d’oxyde de graphène réduit[10]. Cet agrégat est hautement magnétique et peut déclencher une coagulation sanguine pathologique et “l’effet Corona” ou “l’effet protéine en pointe” créé par la dégénérescence de la membrane cellulaire due aux interactions avec d’autres dipôles[10].

Vous pouvez voir ces réactions biologiques ou transformations cellulaires dans le sang vivant sous contraste de phase et microscopie à fond noir dans les figures 24, 25 et 26[1][11].

**Figure 22 :** Agrégat d’acier inoxydable composé de carbone, d’oxygène, de fer et de nickel, maintenu par de l’oxyde de graphène.



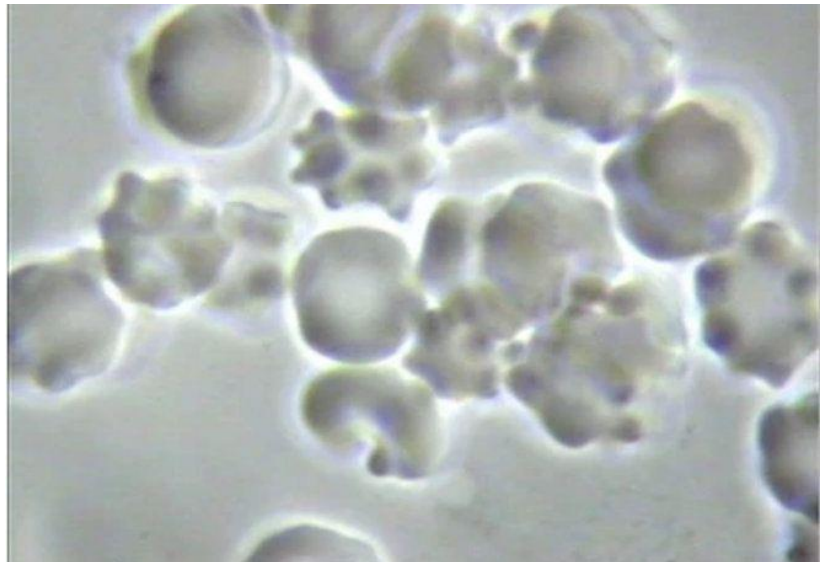
**Figure 23 :** éléments de carbone, d’oxygène, de fer et de nickel réunis par de l’oxyde de graphène.



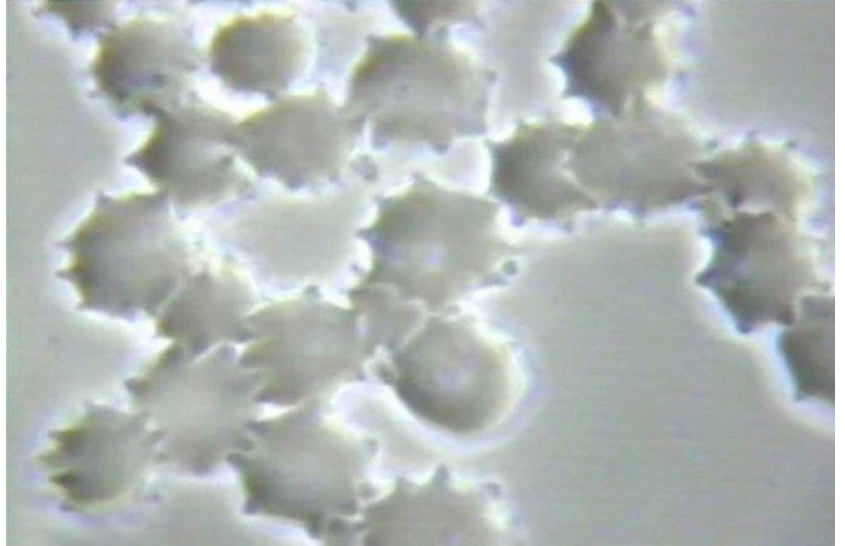
## L’effet Corona et l’effet protéine Spike.

L’“ effet Corona ” et la “ protéine de pointe ” créés de manière endogène sont causés par un empoisonnement chimique et des rayonnements micro-ondes dû à l’oxyde de graphène réduit et aux rayonnements micro-ondes ![11]

**Figure 24 :** “L’effet Corona” et la création endogène d’exosomes due à l’empoisonnement chimique et radiologique des fluides vasculaires et interstitiels de l’interstitium.



**Figure 25** : "l'effet Corona" et la naissance endogène de pics de protéines S1 causés par les radiations et l'empoisonnement chimique ou ce que j'appelle "l'effet de pic de protéines".



\*

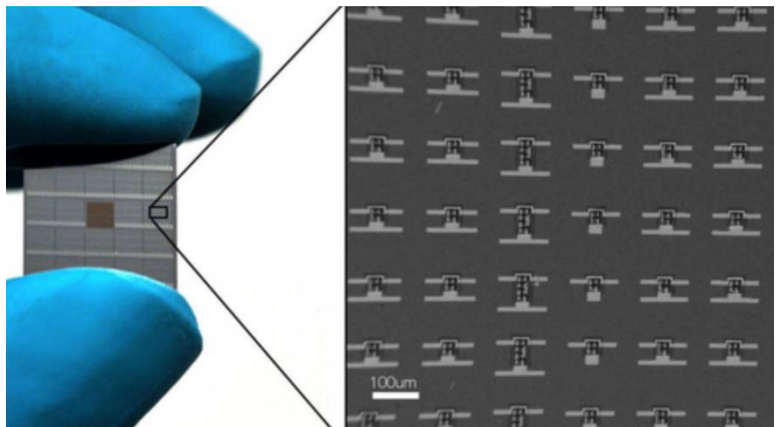
**Figure 26** : micrographie montrant la création endogène des "pics de protéines" comme une infection et non une infection !



Les figures 24 et 25 ci-dessus montrent "L'EFFET CORONA" sur les globules rouges et la figure 26 montre "L'EFFET PROTÉINE SPIKE", tous deux causés par une acidose décompensée des fluides interstitiels et vasculaires provenant d'un mode de vie acide et plus particulièrement d'une exposition à des champs électromagnétiques pulsés toxiques à 2,4 GHz ou plus, d'un empoisonnement chimique provenant de la nourriture et de l'eau ingérées, d'une pollution atmosphérique acide toxique, de chemtrails et, pour couronner le tout, d'une inoculation de CoV-19 à base de nana particules chargées de produits chimiques !

## Le champ magnétique et l'oxyde de graphène

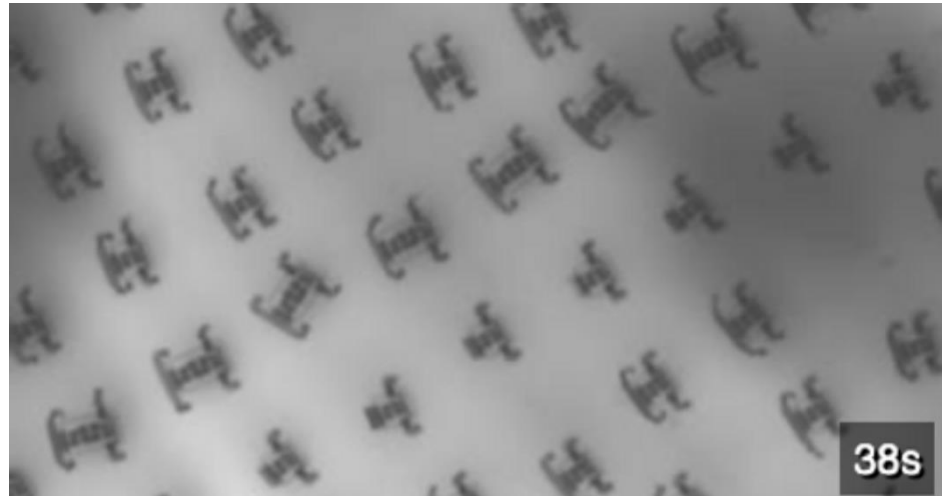
Les nanorobots magnétiques "GO" programmables – injectés dans les fluides vasculaires et interstitiels d'un corps humain ou animal – se déposent dans les tissus conjonctifs et adipeux, puis dans les organes et les glandes. Ils peuvent provoquer une transformation biologique de la membrane cellulaire (couronnement et protéines spikes), une mutation génétique et la mort de la cellule visible



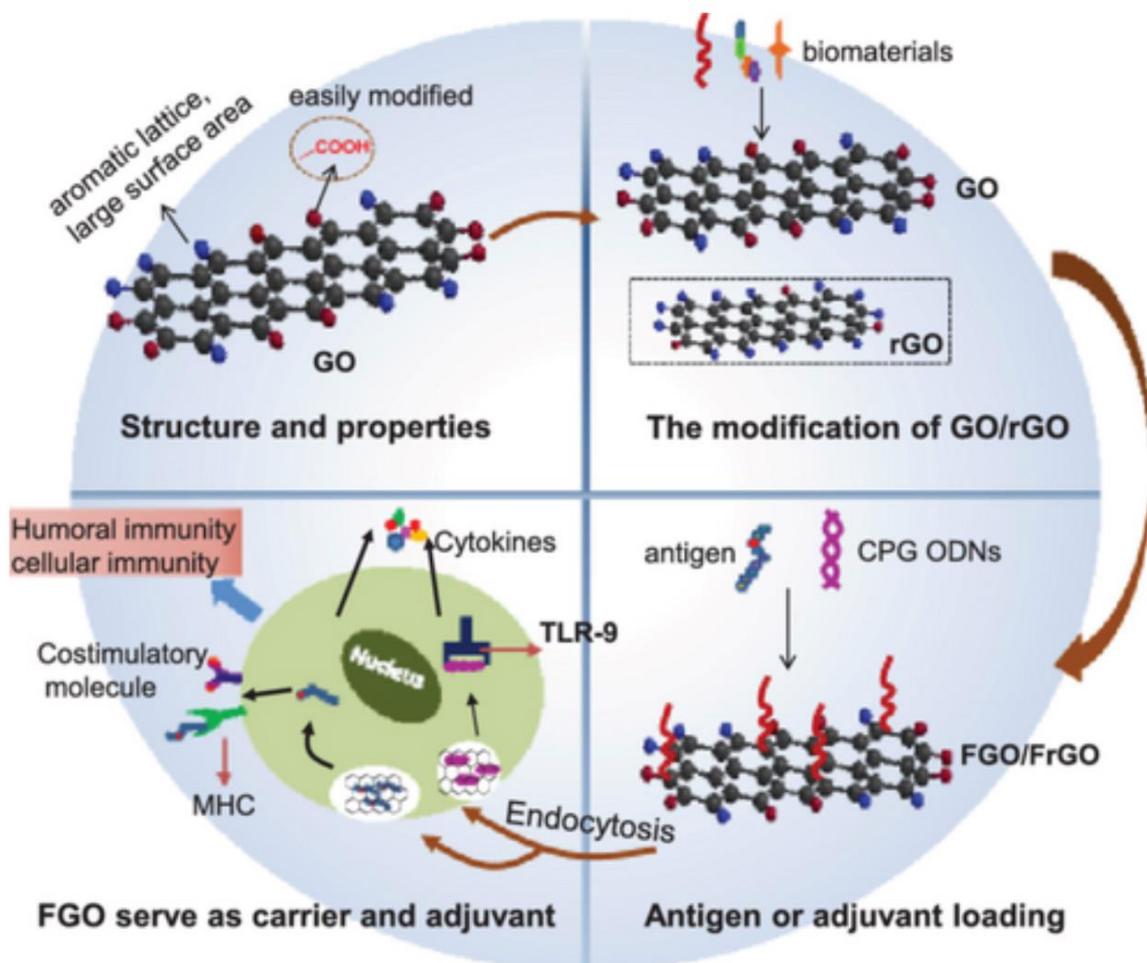
en microscopie à fond noir comme on le voit ci-dessus dans les figures 24, 25, 26.[77][78][82]

Les techniques originales de nanofabrication ont été développées par Marc Miskin et ses collègues de l'Université Cornell. La recherche a été présentée à l'American Physical Society en mars 2017. Selon un communiqué d'EurekAlert, l'équipe a passé des années à développer un processus de nanofabrication qui peut produire un million de nanobots à partir d'une plaquette de silicium spécialisée de 4 pouces en l'espace de quelques semaines. [82]

Ces micro-robots, illustrés ci-contre, comportent quatre pattes et sont composés d'oxyde de graphène hexagonal hautement magnétique, flexible et super résistant.[77][78][82]



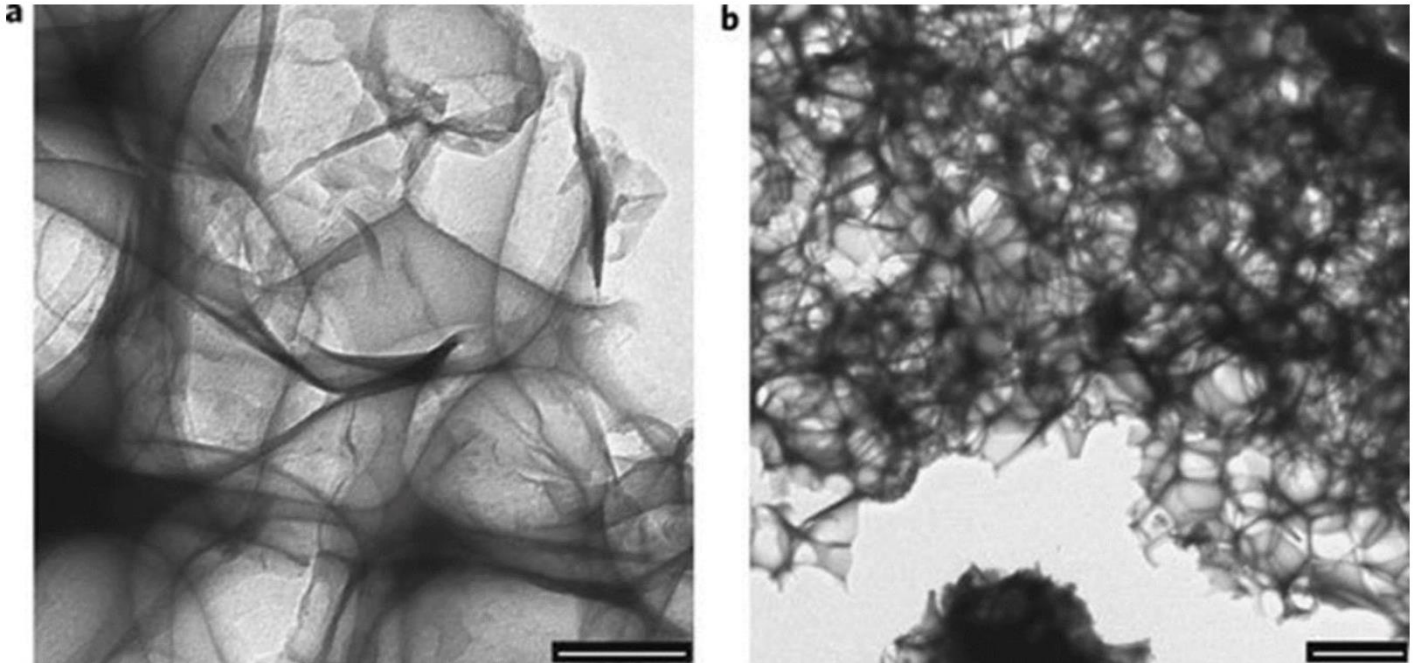
Voici le lien pour une vidéo montrant l'activation de l'oxyde de graphène par des fréquences micro-ondes pulsées électromagnétiques (CEM) : [<https://rumble.com/vkm84h-is-nanobot-technology-or-artificial-intelligence-viable-inside-the-human-bo.html>] [79][82]



## Nanoparticules d'oxyde de graphène

<https://forbiddenknowledgetv.net/dr-david-martin-just-ended-covid-fauci-doj-politicians-in-one-interview/>[82]

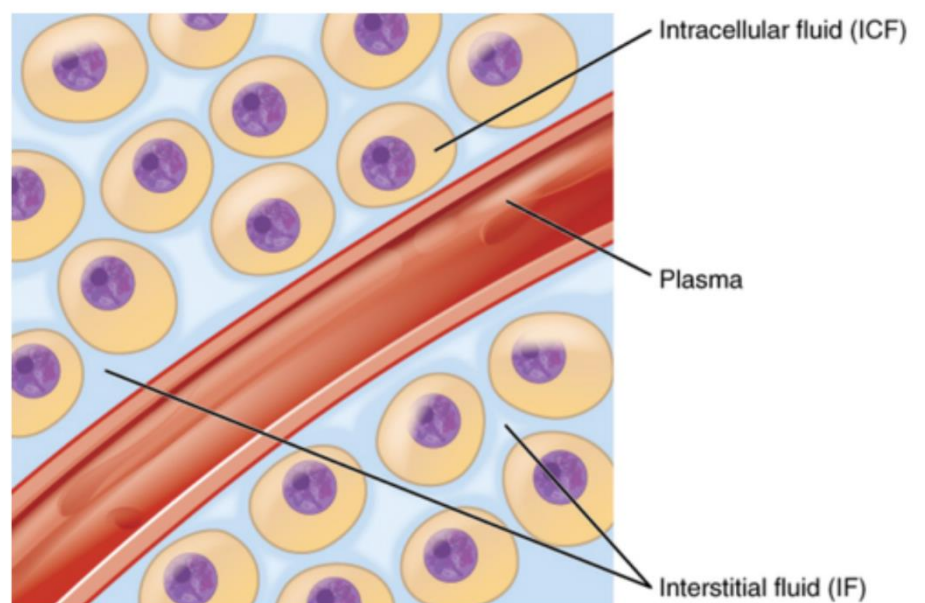
Cela permet aux nanobots d'oxyde de graphène de porter un corps pesant environ 8 000 fois plus que chaque jambe. De plus, chaque jambe ne mesure que 100 atomes de large et jusqu'à 1 atome d'épaisseur, et peut porter des corps 1 000 à 100 000 fois plus épais.[82][83]



Versions hexagonales « intelligentes » des nanobots d'oxyde de graphène trouvés dans les vaccins Pfizer, Moderna, Astrazeneca et Janssen ![82][83]

Il y a eu d'autres chercheurs qui ont maintenant développé des versions « intelligentes » de ces nanobots d'oxyde de graphène. Ces versions comportent des contrôleurs, des capteurs, des émetteurs et des horloges.[82][83]

Les nanobots d'oxyde de graphène sont alimentés à l'aide de champs magnétiques (CEM) ou d'ultrasons, ce qui leur permet de voyager profondément dans les tissus, les organes et les glandes du corps humain (tels que les organes reproducteurs, [80][82][83], la moelle osseuse), et de traverser la barrière hémato-encéphalique et la barrière air-sang des poumons via les fluides interstitiels : le plus grand organe du corps humain et animal appelé l'interstitium [81][82][83]



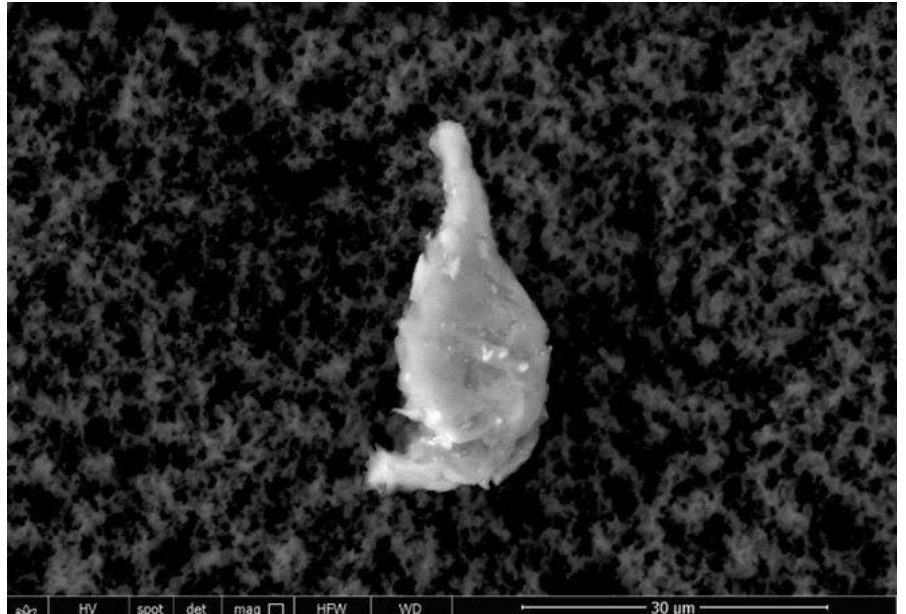
## Les ingrédients non divulgués du “vaccin” Moderna

Les figures 27 et 28 montrent un mélange de matières organiques et inorganiques contenue dans le “vaccin” Moderna.

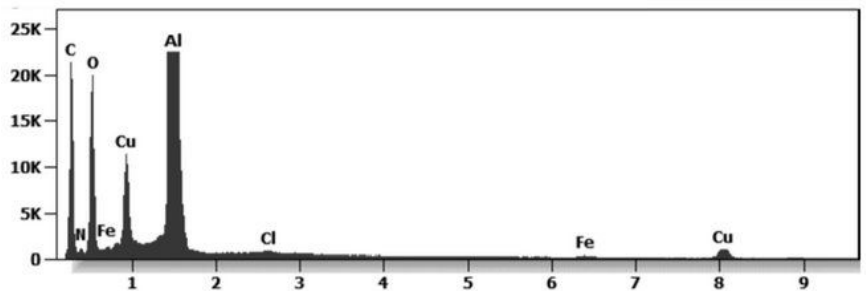
La microscopie électronique à transmission (TMS) et la quantification à l’aide d’une microsonde à rayons X d’un système à dispersion d’énergie (EDS) ont révélé la nature chimique des micro et nanoparticules observées.

Le “vaccin” Moderna est un substrat d’oxyde de graphène réduit à base de carbone dans lequel sont incorporées des nanoparticules. Ces nanoparticules sont composées de carbone, d’azote, d’oxygène, d’aluminium, de cuivre, de fer et de chlore[12].

**Figure 27** : La microscopie électronique à transmission révèle un composite d’oxyde de graphène dans lequel sont intégrées des matières organiques et non organiques. [83]



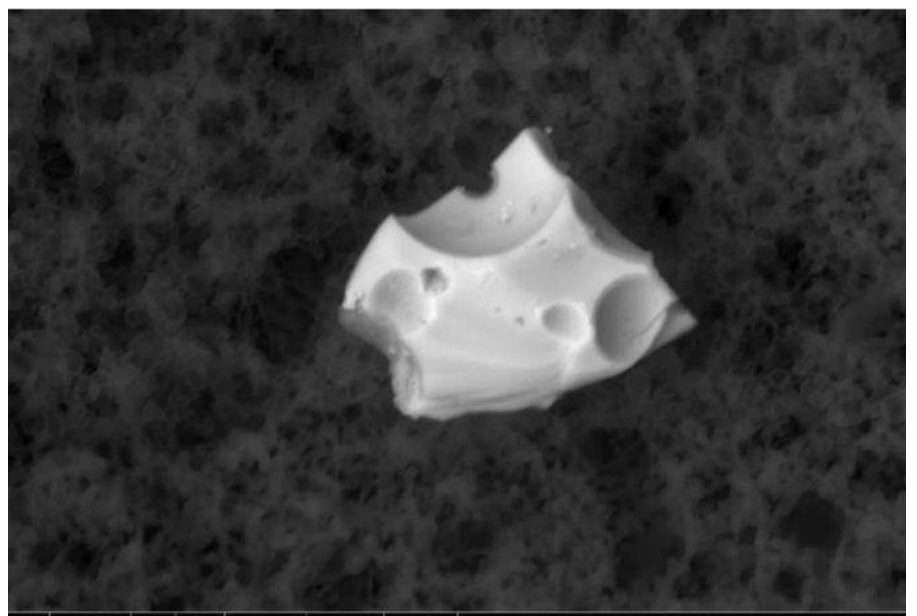
**Figure 28** : présence de nanoparticules cytotoxiques intégrées. [75][76][83]

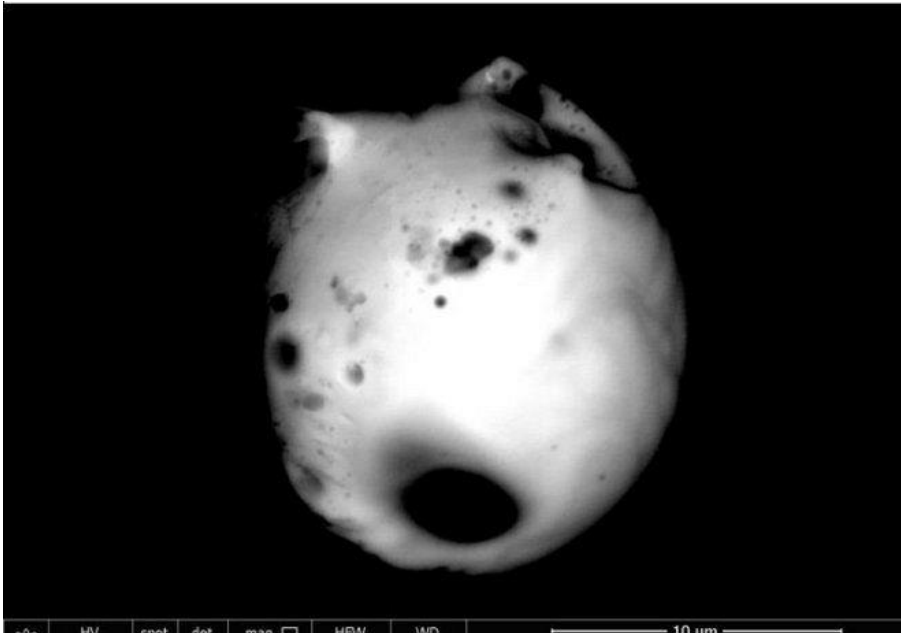


Les figures 29 et 30 montrent une analyse qui a également été réalisée en microscopie électronique à transmission (MET) et quantifiée avec une microsonde à rayons X d’un système de dispersion d’énergie (EDS). Elle révèle la nature chimique des micro et nano particules observées. De nombreux corps étrangers ont été identifiés avec une morphologie sphérique avec quelques cavités en forme de bulle.

**Figures 29 et 30** : nano points dans l’oxyde de graphène trouvé dans le “vaccin” Moderna.[83]

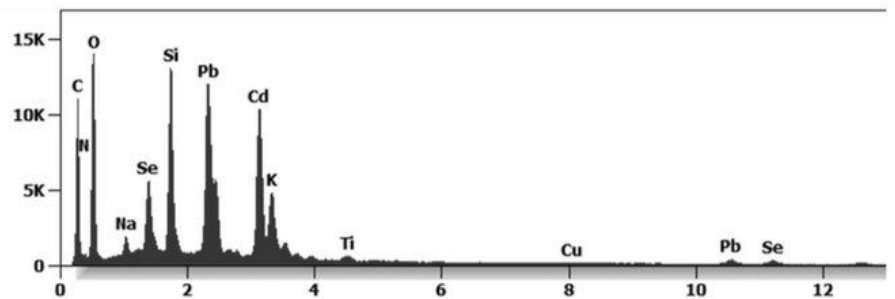
La figure 31 montre qu’ils sont composés de carbone, d’azote,





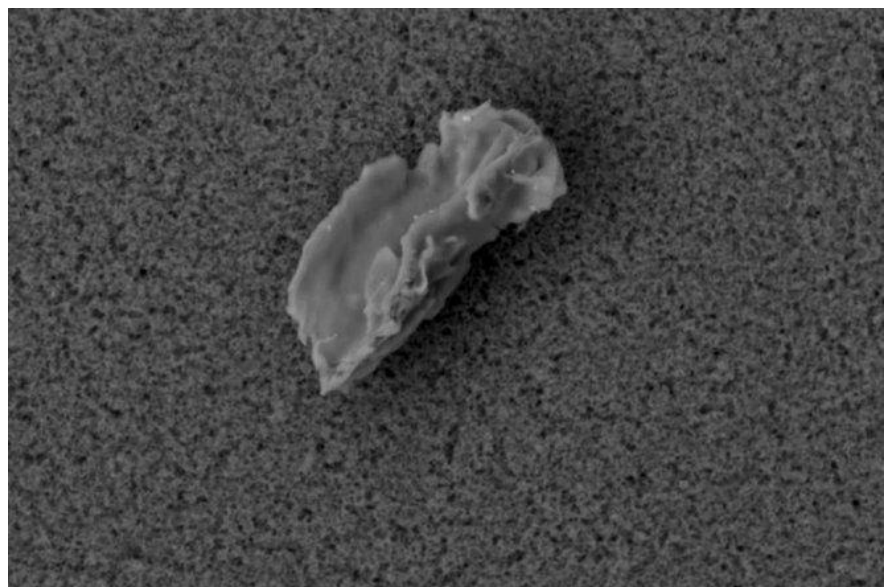
d'oxygène, de silicium, de plomb, de cadmium et de sélénium. Cette composition de nanoparticules hautement toxiques est constituée de points quantiques de sélénure de cadmium qui sont cytotoxiques et génotoxiques [13] [14].

**Figure 31** : composition cytotoxique et génotoxique des nanoparticules d'oxyde de graphène trouvées dans le "vaccin" Moderna.

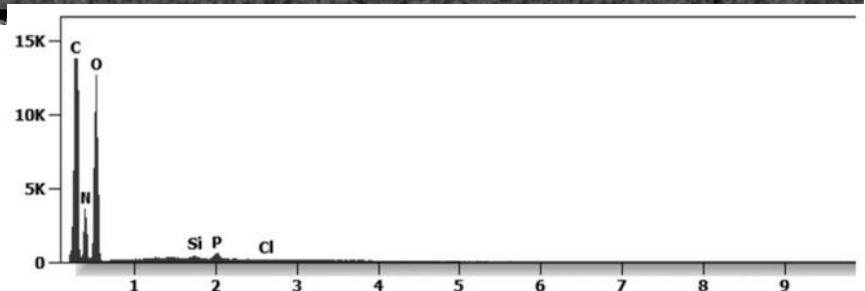


Les figures 32 et 33 analysent plus en détail le "vaccin" Moderna. Ils révèlent un symplaste de 100 microns de composite de nanoparticules d'oxyde de graphène réduit. Le rGO est composé de carbone et d'oxygène avec une contamination de nanoparticules d'azote, de silicium, de phosphore et de chlore. [16][83]

**Figure 32** : La microscopie électronique à transmission révèle un grand composite d'oxyde de graphène réduit de 100 microns.

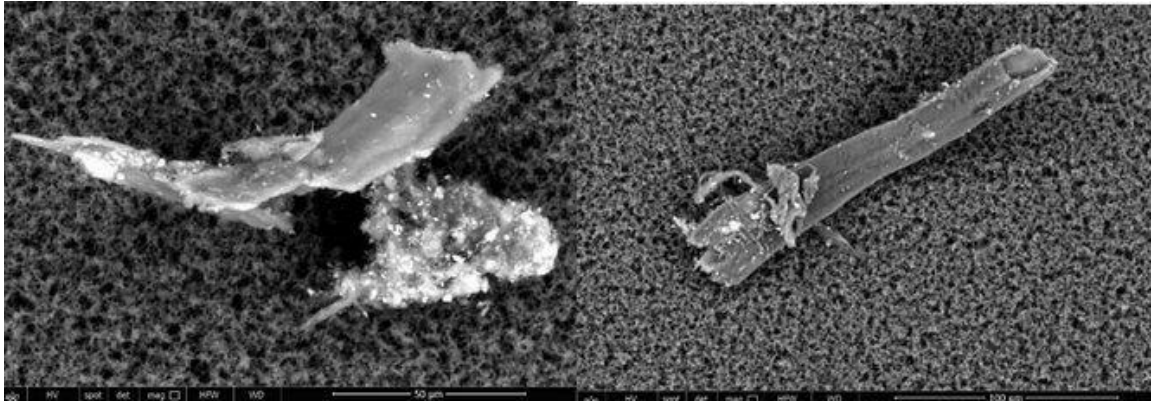


**Figure 33** : complexe de nanoparticules contenu dans le "vaccin" Moderna

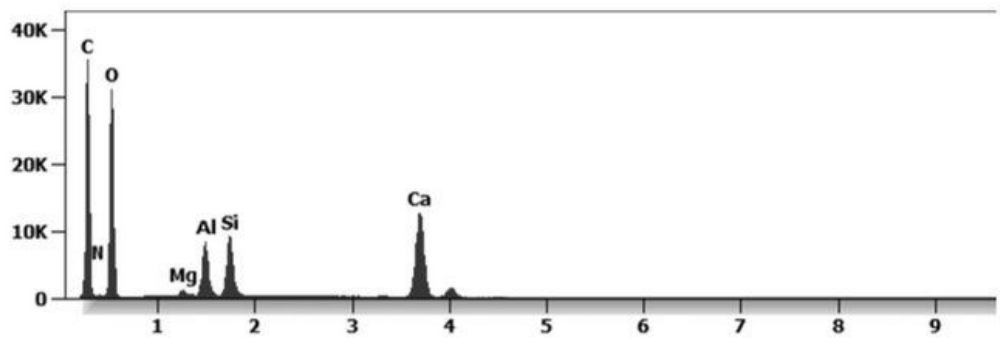


Les figures 34 et 35 montrent des entités d'oxyde de graphène réduit à base de carbone dans le "vaccin" Moderna, mélangées à des agrégats remplis de nanoparticules de silicate d'aluminium[16].

**Figure 34** : complexe d'oxyde de graphène et de silicate d'aluminium au microscope électronique à transmission.



**Figure 35** : nano-éléments d'oxyde de graphène et de silicate d'aluminium contenus dans le "vaccin" Moderna



# Discussion

La pandémie de SRAS-CoVid-2-19 a incité les industries pharmaceutiques à développer de nouveaux médicaments qu'elles ont appelés vaccins.

Le mécanisme d'action de ces nouveaux médicaments, tel qu'il est déclaré par l'industrie pharmaceutique, associé à ce qui est indiqué dans la fiche technique des vaccins, n'est pas clair pour les savants médicaux actuels qui comprennent que ces nouveaux médicaments produits par

- le vaccin ARNm BioNTech de Pfizer,
- le vaccin ARNm-1273 Moderna-Lonza,
- le vaccin Serum Institute Oxford Astrazeneca
- le vaccin Janssen COVID -19, fabriqué par Janssen Biotech Inc, une société pharmaceutique Janssen de Johnson & Johnson,

*ne sont pas des vaccins* mais des médicaments nanotechnologiques fonctionnant comme une thérapie génétique.

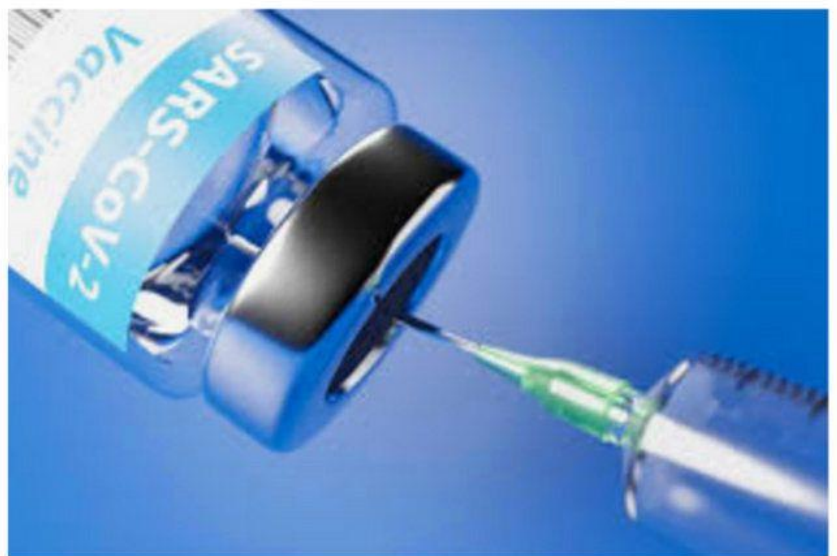
Le nom "vaccin" est probablement un escamotage (ruse) utilisé pour des raisons bureaucratiques et technocratiques afin de recevoir une approbation d'urgence, en ignorant toutes les règles normales nécessaires pour les nouveaux médicaments, en particulier pour ceux qui impliquent de nouveaux mécanismes nanotechnologiques qui n'ont jamais été développés ni expérimentés par l'homme, où que ce soit, à n'importe quel moment de l'histoire du monde.

Tous ces soi-disant "vaccins" sont brevetés et leur contenu réel est donc tenu secret, même pour les acheteurs, qui, bien sûr, utilisent l'argent des contribuables. Ainsi, les consommateurs (les contribuables) n'ont aucune information sur ce qu'ils reçoivent dans leur corps par inoculation.

L'humanité est maintenue dans l'ignorance en ce qui concerne les processus technologiques de nanoparticules impliqués, les effets négatifs sur les cellules du corps, mais surtout l'effet possible de la nano-bio-interaction magnétotoxique, cytotoxique et génotoxique sur le sang et les cellules du corps. [82]

Cette étude, qui consiste en une analyse directe des soi-disant "vaccins" susmentionnés à l'aide d'instruments technologiques à nanoparticules, révèle des informations troublantes et susceptibles de changer la vie des personnes concernées, concernant la vérité sur le contenu acide toxique réel de ces soi-disant vaccins.

Les médicaments Pfizer, Moderna, Astrazeneca et Janssen ne sont pas des "vaccins" mais des agrégats complexes de nanoparticules d'oxyde de graphène composés de divers nano-éléments fixés à des acides nucléiques génétiquement modifiés d'ARNm provenant de cellules animales ou



The vaccines for SARS CoVid-2 or also renamed as CoVid-19 have been fast tracked from 10 years to 1 year. It is important for us all to be aware that the clinical trials of these so-called "vaccines" or "gene therapy" inoculations do not finish until 2023!!

Vero et de cellules fœtales humaines avortées, comme nous l'avons vu et décrit ci-dessus. Une fois de plus, les ingrédients de ces soi-disant vaccins sont hautement magnéto-toxiques, cytotoxiques et génotoxiques pour les membranes cellulaires des plantes, des insectes, des oiseaux, des animaux et des humains, ainsi que pour leur matériel génétique, ce qui a déjà entraîné de graves accidents (estimés à plus de 500 millions) et/ou la mort (estimée à plus de 35 millions)[17][18] à [55][73][82][83].

Les soi-disant "experts" ou "savants médicaux" VOUS disent :

- Que les vaccins contre le CoV -2 - 19 sont le SEUL moyen d'arrêter la propagation du CoV-19 ... alors même qu'il n'y a AUCUNE PREUVE de son existence et AUCUNE PREUVE de sa propagation telle que déterminée par la méthode scientifique des postulats de Koch ou de Rivers ! [54]

Réfutation de la théorie virale :

<https://www.drrobertyoung.com/post/dismantling-the-viral-theory>

- Qu'ils sont sûrs – malgré les preuves documentées du contraire... [54][73][83]

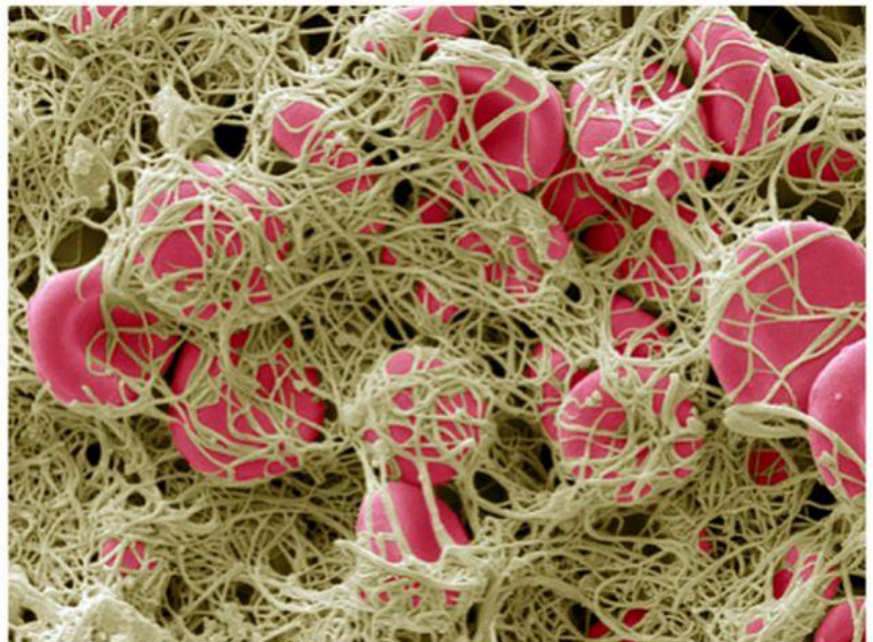
- Qu'ils sont efficaces – même si des millions de personnes "doublement piqués" tombent malades, s'exposent théoriquement à un VIRUS NON EXISTANT appelé CoV – 19, et meurent ...[55] NON pas d'une infection virale fantôme mais de la PEUR ou de fausses preuves apparemment réelles et du contenu acide toxique de l'oxyde de graphène réduit délivré via l'ARNm génétiquement modifié à des cibles spécifiques du corps humain entraînant une coagulation sanguine pathologique, un manque d'oxygène, une hypercapnie, une hypoxie et ensuite la mort par suffocation. [56][57][58][83]

- Que VOUS DEVEZ recevoir au moins deux injections PLUS des "rappels" pour vivre une "vie normale"...

Coagulation Intravasculaire Disséminée (CIVD) ou coagulation sanguine pathologique.

Et bientôt, ils vous diront que VOUS n'avez pas d'autre choix que de vous conformer à TOUTES leurs OBLIGATIONS, même si le CDC et d'autres gouvernements, universités

Koch vs Rivers	
Koch (1884)	Rivers (1937)
1. The microorganism found in the ill but not the healthy	1. Isolation of virus from diseased host
2. The microorganism must be isolated from a diseased organism and grown in pure culture.	2. Cultivation of virus in host cells
3. Produce same disease in host	3. Proof of filterability
4. Re-isolation of microorganism	4. Produce same disease in host
	5. Re-isolation of virus
	6. Detection of a specific immune response to virus



Phase Contrast Micrograph 2 - Erythrocytic Fibrin Net Indicating Disseminated Intravascular Coagulation - DIC

et instituts médicaux ont reconnus par écrit qu'ils n'ont AUCUNE "RÈGLE D'OR" d'isolement du CoV-2, maintenant appelé le virus CoV-19 !

Il n'y a PAS DE VIRUS CORONA et il n'y en a JAMAIS eu ! [56].

**Rappelez-vous...**

NE LAISSEZ PERSONNE VOUS ENLEVER VOTRE LIBERTÉ DE SANTÉ !

C'est VOTRE corps, VOTRE vie et VOTRE choix !

La connaissance est le pouvoir. Et c'est la clé pour comprendre pourquoi les vaccins expérimentaux CoV-19 sont si dangereux – en dépit du récit officiel des médias aux ordres qui suppriment et censurent quiconque ose s'exprimer.

Vous avez le contrôle de votre propre santé. Ne soyez pas victime des gouvernements et des bureaucrates mondiaux qui poussent tout le monde à se faire vacciner. Le "philanthrope" milliardaire Bill Gates et les activistes milliardaires de Big Tech pensent savoir ce qui est le mieux pour vous et votre famille.

Vous devez être libre de décider ce qui est bon pour vous. Ne laissez PAS les gouvernements et les employeurs vous forcer à vous faire "vaxxer" "pour votre bien".

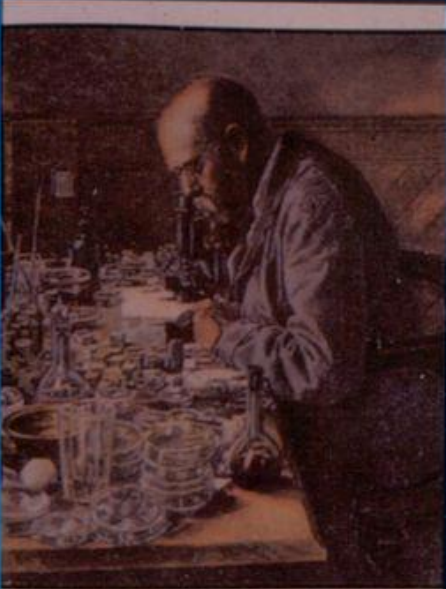
Et ne laissez jamais la culture de la censure vous rendre trop affolé pour défendre vos droits !

Selon les mots du grand médecin et scientifique français, **Antoine Béchamp**, "Il n'y a rien de si faux qui ne contienne un élément de vérité et il en est ainsi de la théorie des germes". En l'occurrence, la

théorie des virus, des vaccins et de l'immunité ! [59]

**The Law of Change  
Doctrine of Pleomorphism**

- **Antoine BeChamp** (1816-1908)
- Microzyma Theory
- Germs are born in us
- Father of Pleomorphism
- Many Forms - Many Functions
- Germs are transmutations of organized healthy cells
- Germs do not cause disease
- Disease comes from within
- Germs are nothing the Terrain is everything
- Discovered Fermentation
- Contextual Scientist



Antoine Bechamp

Pour en savoir plus sur les virus, les vaccins et la théorie virale, veuillez lire et étudier, Une seconde réflexion sur les virus, les vaccins et l'hypothèse VIH SIDA. Vous pouvez commander ce livre sur :

<https://www.phmiracleproducts.com/collections/books-audio-video/products/second-thoughts-about-viruses-vaccines-and-the-hiv-aids-hypothesis-booklet>

Lisez et apprenez-en plus sur les virus, les vaccins et la théorie virale dans les articles scientifiques suivants !<sup>[60][61][62]</sup>

### **1- Résultats de la microscopie électronique à balayage et à transmission révélant l'oxyde de graphène dans les vaccins CoV-19 - Une entrevue avec le Dr Robert O. Young.**

Une bombe absolue et une révélation majeure sur le contenu des vaccins, avec l'utilisation d'électrons et d'autres types de microscopie à partir des recherches originales du Dr Robert Young et de son équipe, confirmant ce que les chercheurs de La Quinta Columna ont trouvé --- contenu nanométrique toxique avec cyto-toxique et génotoxiques ainsi qu'un parasite identifié. C'est une révélation majeure : restez à l'écoute pour un article majeur rapportant cela à l'ECC, en attendant, partagez largement ces vidéos :

<https://www.bitchute.com/video/Z2sAH0Woz38r/>

<https://rumble.com/vlonug-electron-microscopy-reveals-graphene-oxide-in-cov-19-vaccines.html>

[https://odysee.com/@DrRobertYoung:7/MicroscopyEvidenceofGOinVaccineszoom\\_0:c?r=DwWt6qy5ACY9nSS1q6nAqSpAYbuZDjWf](https://odysee.com/@DrRobertYoung:7/MicroscopyEvidenceofGOinVaccineszoom_0:c?r=DwWt6qy5ACY9nSS1q6nAqSpAYbuZDjWf)

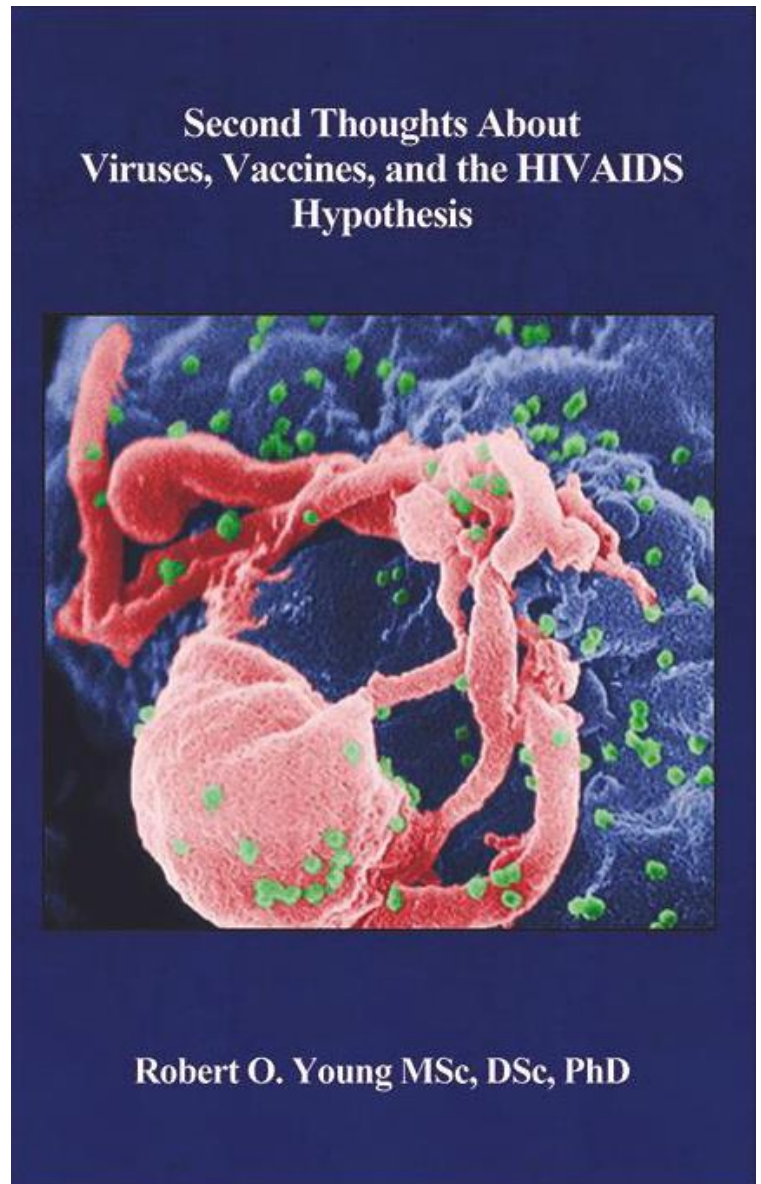
### **2. Les courbes épidémiques des pays les plus vaccinés :**

<https://www.drrobertyoung.com/post/world-health-organization-who-publishes-epidemic-curves-of-the-most-vaccinated-countries>

### **3. La Suède suit la science biologique, PAS la science politique**

<https://www.drrobertyoung.com/post/sweden-is-following-the-biological-science-not-the-political-science>

### **4. Ce qui se passe en Inde**



<https://www.drrobertyoung.com/post/what-happened-in-india>

**5. Survivre au fléau de la corruption**

<https://www.drrobertyoung.com/post/surviving-the-plague-of-corruption>

**6. Réfutation de la théorie virale**

<https://www.drrobertyoung.com/post/dismantling-the-viral-theory>

**7. Corona à l'essai**

<https://www.drrobertyoung.com/post/corona-on-trial-explosive-and-exclusive>

**8. Le syndrome de La Havane, à Cuba, causé par les micro-ondes CEM pulsées dirigées**

<https://www.drrobertyoung.com/post/the-havana-syndrome-pulsating-microwaves>

**9. Le CDC admet aujourd'hui qu'il n'existe pas de règle d'or pour isoler le moindre virus.**

<https://www.drrobertyoung.com/post/cdc-now-admits-no-gold-standard-for-the-isolation-for-any-virus?postId=60c4dbc74f7fc9002ba2507e>

**10. Réponses par rapport à la liberté d'information sur le CoV-2 maintenant appelé CoV-19-**

<https://www.drrobertyoung.com/post/freedom-of-information-responses-on-cov-2>

**11. Pourquoi les virus n'existent pas**

<https://www.drrobertyoung.com/post/why-viruses-do-not-exist>

**12. Rapport 255 | Dr. Robert Young : Les maladies sont des éliminations et non des Infections— Les vaccins à nanoparticules sont des armes biologiques !**

<https://www.bitchute.com/video/rdQhuY455VmK>

**13. Rapport 255 | Dr Robert Young : Toute maladie est une élimination, non une infection | Les nanoparticules lipidiques du vaccin au graphène associées à une irradiation sont l'arme biologique - aucun virus COVID n'existe !**

<https://www.brighteon.com/250210af-c8a3-47a1-8922-c960342fe2fb>

**14. Rapport 255 | Dr. Robert Young : Toute maladies est une élimination et non une Infection— Les vaccins à nanoparticules sont des armes biologiques !**

<https://odysee.com/@RamolaDReports:8/Report-255---Dr.-Robert-Young-Explains-Disease-by-Outfection,-Lipid-Nanoparticles-with-Graphene-the:4>

**15. Oubliez tout le reste ! Regardez les CHIFFRES d'Eudravigilance sur les effets secondaires et les décès !**

<https://www.drrobertyoung.com/post/forget-everything-else-you-ve-heard-just-look-at-the-numbers>

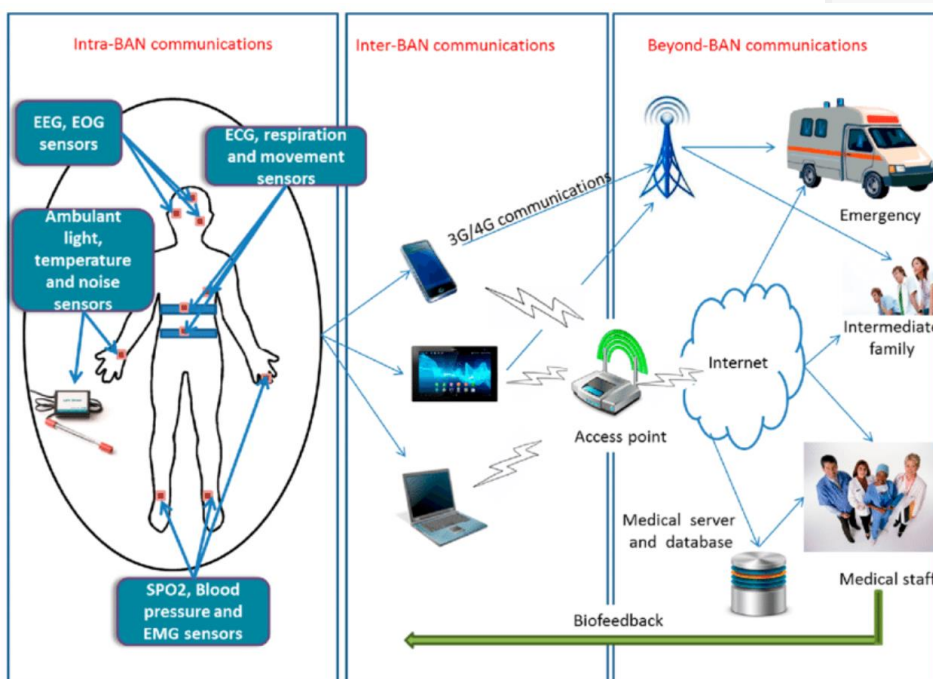
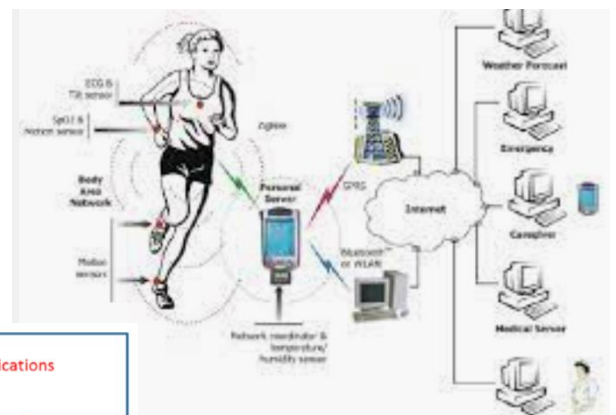
**16. Le Dr. Robert O. Young ITNJ témoigne.** Inscrivez-vous à la newsletter GRATUITE du Dr Young MAINTENANT sur : [www.drrobertyoung.com](http://www.drrobertyoung.com)

**17. La demande de brevet Pfizer** approuvée le 31 août 2021 est le tout premier brevet qui apparaît dans une liste de plus de 18 500 dans le but de rechercher à distance les contacts de tous les humains vaccinés dans le monde qui seront ou sont désormais connectés à « l'internet des choses" par une liaison quantique de fréquences micro-ondes pulsées de 2,4 GHz ou plus depuis les tours cellulaires et les satellites grâce à l'oxyde de graphène contenu dans les tissus adipeux de toutes les personnes inoculées.[63][64][65][66] [67][82]

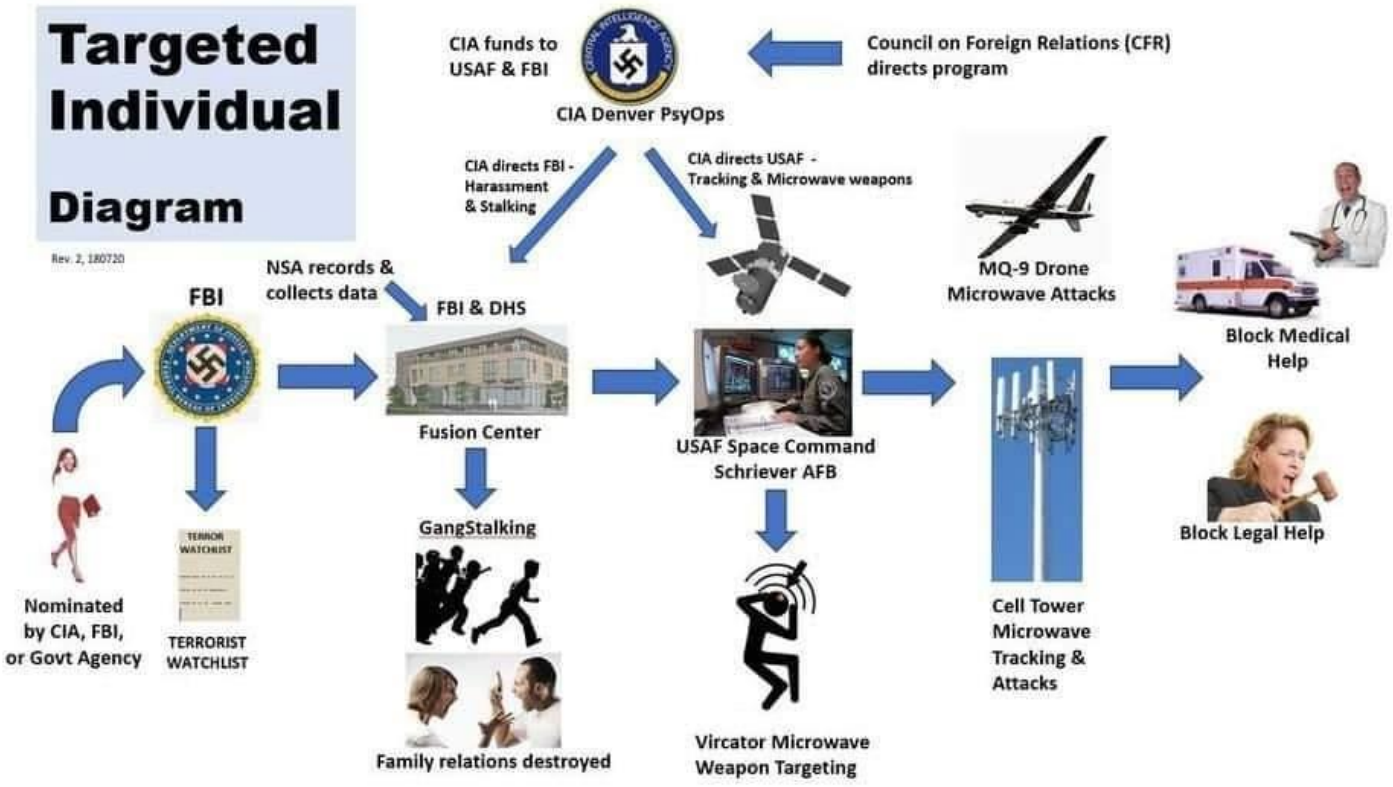
**Voici le lien :**

<https://patft.uspto.gov/netacgi/nph-Parser?Sect1=PTO2&Sect2=HITOFF&u=%2Fne-tahtml%2FPTO%2Fsearch-adv.htm&r=1&p=1&f=G&l=50&d=PTXT&S1=Pfizer&OS=Pfizer&RS=Pfizer>

**18. L'architecture générale du système TRANS-HUMAN basé sur les réseaux corporels sans fil (WBAN)** [68][69][70][71][72][82]



19. Connexions sans fil des tours cellulaires ou des satellites à VOUS ! [73][74][82]



# RÉFÉRENCES

- [1] Ou, L., Song, B., Liang, H. *et al.* Toxicity of graphene-family nanoparticles: a general review of the origins and mechanisms. *Part Fibre Toxicol* **13**, 57 (2016). <https://doi.org/10.1186/s12989-016-0168-y>
- [2] Young RO (2016) Pathological Blood Coagulation and the Mycotoxic Oxidative Stress Test (MOST). *Int J Vaccines Vaccin* 2(6): 00048. DOI: [10.15406/ijvv.2016.02.00048](https://doi.org/10.15406/ijvv.2016.02.00048)
- [3] Xu et al, (2019) Identification of graphene oxide and its structural features in solvents by optical microscopy, *RSC Adv.*, 9, 18559-18564
- 1-Extraction RNA Kit <https://www.fishersci.es/shop/products/ambion-purelink-rna-mini-kit7/10307963>
- 2- NanoDrop™ <https://www.thermofisher.com/order/catalog/product/ND-2000#/ND-2000>
- 3- QUBIT2.0: <https://www.thermofisher.com/es/es/home/references/newsletters-andjournals/bio-probes-journal-of-cell-biology-applications/bioprobos-issues-2011/bioprobos-64-april2011/the-qubit-2-0-fluorometer-april-2011.html>
- [4] Muestra RD1, La Quinta Columna Report, June 28, 2021; Graphene Oxide Detection in Aqueous Suspension; Delgado Martin, Campa Madrid.
- [5] Kim et al, Seeing graphene-based sheets, *Materials Today*, Volume 13, Issue 3, 2010, Pages 28-38, ISSN 1369-7021, [https://doi.org/10.1016/S1369-7021\(10\)70031-6](https://doi.org/10.1016/S1369-7021(10)70031-6)
- [6] Bano, I. et al, 2019. Exploring the fluorescence properties of reduced graphene oxide with tunable device performance, *Diamond and Related Materials*, Volume 94, 59-64, ISSN 0925-9635, <https://doi.org/10.1016/j.diamond.2019.02.021>.
- [7] Biroju, Ravi & Narayanan, Tharangattu & Vineesh, Thazhe Veetil. (2018). New advances in 2D electrochemistry – Catalysis and Sensing. 10.1201/9781315152042-7.
- [8] Choucair, M., Thordarson, P. & Stride, J. Gram-scale production of graphene based on solvothermal synthesis and sonication. *Nature Nanotech* 4, 30–33 (2009). <https://doi.org/10.1038/nnano.2008.365>
- [9] **Atlas of Human Parasitology, 4th Edition, Lawrence Ash and Thomas Orithel, pages 174 to 178**
- [10] Mano, S.S.; Kanehira, K.; Sonezaki, S.; Taniguchi, A. Effect of Polyethylene Glycol Modification of TiO<sub>2</sub> Nanoparticles on Cytotoxicity and Gene Expressions in Human Cell Lines. *Int. J. Mol. Sci.* **2012**, *13*, 3703-3717. <https://doi.org/10.3390/ijms13033703>
- [11] Srivastava AK, Dwivedi N, Dhand C, et al. Potential of graphene-based materials to combat COVID-19: properties, perspectives, and prospects. *Mater Today Chem.* 2020;18:100385. doi:10.1016/j.mtchem.2020.100385
- [12] Young, RO, "The Effects of ElectroMagnetic Frequencies (EMF) on the Blood and Biological Terrain." <https://www.drrobertyoung.com/post/the-effects-electromagnet-frequencies-on-the-blood-and-biological-terrain>
- [13] Gatti AM, Manti A, Valentini L, Montanari S, Gobbi P, et al. (2016) Nano biointeraction of particulate matter in the blood circulation. *Frontiers* 30: 3.

- [14] Nikazar, S., Sivasankarapillai, V.S., Rahdar, A. *et al.* Revisiting the cytotoxicity of quantum dots: an in-depth overview. *Biophys Rev* **12**, 703–718 (2020). <https://doi.org/10.1007/s12551-020-00653-0>
- [15] Ritesh Banerjee, Priya Goswami, Manoswini Chakrabarti, Debolina Chakraborty, Amitava Mukherjee, Anita Mukherjee, Cadmium selenide (CdSe) quantum dots cause genotoxicity and oxidative stress in *Allium cepa* plants, *Mutation Research/Genetic Toxicology and Environmental Mutagenesis*, Volume 865, 2021, 503338, ISSN 1383-5718, <https://doi.org/10.1016/j.mrgentox.2021.503338>.
- [16] Wanjun Cao, Lin He, Weidong Cao, Xiaobing Huang, Kun Jia, Jingying Dai, Recent progress of graphene oxide as a potential vaccine carrier and adjuvant, *Acta Biomaterialia*, Volume 112, 2020, Pages 14-28, ISSN 1742-7061, <https://doi.org/10.1016/j.actbio.2020.06.009>. (<https://www.sciencedirect.com/science/article/pii/S1742706120303305>)
- [17] Concise Encyclopedia of Composite Materials, ed. Anthony Kelly, MIT Press, 1989, [ISBN0-262-11145-4](https://doi.org/10.1016/B978-0-88415-111-4)
- [18] L. Harivardhan Reddy, José L. Arias, Julien Nicolas, and Patrick Couvreur, "Magnetic Nanoparticles: Design and Characterization, Toxicity and Biocompatibility, Pharmaceutical and Biomedical Applications." *Chemical Reviews* **2012** *112* (11), 5818-5878 DOI: 10.1021/cr300068p
- [19] US Dpt of health and human services (1996) Report Update: Vaccine Side Effects, Adverse Reactions, Contraindications, and Precautions. CDC 45(RR-12): 1-35.
- [20] Ottaviani G, Lavezzi AM, Maturri L (2006) Sudden infant death syndrome (SIDS) shortly after hexavalent vaccination: pathology in suspected SIDS? *Virchows Arch* **448**(1): 100-104.
- [21] Taylor B, Miller E, Farrington CP, Petropoulos MC, Favot-Mayaud I, et al. (1999) Autism and measles, mumps, and rubella vaccine: no epidemiological evidence for a causal association. *Lancet* **353**(9169): 2026-2029.
- [22] Demicheli V, Rivetti A, Debalini MG, Di Pietrantonj C (2012) Vaccines for measles, mumps and rubella in children. *Cochrane Database Syst Rev* **15**(2): CD004407. New Quality-Control Investigations on Vaccines: Micro- and Nanocontamination 13/13 Copyright: ©2016 Gatti et al. Citation: Gatti AM, Montanari S (2016) New Quality-Control Investigations on Vaccines: Micro- and Nanocontamination. *Int J Vaccines Vaccin* **4**(1): 00072. DOI: 10.15406/ijvv.2017.04.00072
- [23] Carola Bardage, Ingemar Persson, Åke Örtqvist, Ulf Bergman, Jonas F Ludvigsson, et al. (2011) Neurological and autoimmune disorders after vaccination against pandemic influenza A (H1N1) with a monovalent adjuvanted vaccine: population based cohort study in Stockholm, Sweden. *BMJ* **343**: d5956.
- [24] Johann Liang R (2012) Updating the Vaccine Injury Table following the 2011 IOM Report on Adverse Effects of vaccines. HRSA, pp. 1-27.
- [25] L Tomljenovic, CA Shaw (2011) Aluminum Vaccine Adjuvants: Are they Safe? *Current Medicinal Chemistry* **18**(17): 2630-2637.
- [26] Shaw CA, Petrik MS (2009) Aluminum hydroxide injections lead to motor deficits and motor neuron degeneration. *J Inorg Biochem* **103**(11): 1555-1562.
- [27] Authier FJ, Sauvat S, Christov C, Chariot P, Raisbeck G, et al. (2006) AlOH<sub>3</sub>-adjuvanted vaccine-induced macrophagic myofasciitis in rats is influenced by the genetic background. *Neuromuscul Disord* **16**(5): 347-352.

- [28] Exley C, Esiri MM (2006) Severe cerebral congophilic angiopathy coincident with increased brain aluminium in a resident of Camelford, Cornwall, UK. *J Neurol Neurosurg Psychiatry* 77(7): 877- 879.
- [29] Wills MR, Savory J (1985) Water content of aluminium, dialysis dementia, and osteomalacia. *Environ Health Perspect* 63: 141-147.
- [30] Brinth L, Pors K, Theibel AC, Mehlsen J (2015) Suspected side effects to the quadrivalent human papilloma vaccine. *Danish Medical J* 62(4): 1-12.
- [31] Palmieri B, Poddighe D, Vadalà M, Laurino C, Carnovale C, et al. (2016) Severe somatoform and dysautonomic syndromes after HPV vaccination: case series and review of literature. *Immunol Res*.
- [32] Visani G, Manti A, Valentini L, Canonico B, Loscocco F, et al. (2016) Environmental nanoparticles are significantly over-expressed in acute myeloid leukemia. *Leuk Res* 50: 50-56.
- [33] Artoni E, Sighinolfi GL, Gatti AM, Sebastiani M, Colaci M, et al. (2016) Micro and nanoparticles as possible pathogenetic co-factors in mixed cryoglobulinemia. *Occupational Medicine*.
- [34] T Hansen, L Klimek, F Bittinger, I Hansen, A Gatti, et al. (2008) Mast cell reiches Aluminium granuloma *Pathologie* 29(4): 311-313.
- [35] Gatti AM, Manti A, Valentini L, Montanari S, Gobbi P, et al. (2016) Nano biointeraction of particulate matter in the blood circulation. *Frontiers* 30: 3.
- [36] Tenzer S, Docter D, Rosfa S, Wlodarski A, Kuharev J, et al. (2011) Nanoparticle size is a critical physicochemical determinant of the human blood plasma corona: a comprehensive quantitative proteomic analysis. *ACS Nano* 5(9): 7155-167.
- [37] Radauer Preiml , Andosch A, Hawranek T, Luetz-Meindl U, Wiederstein M, et al. (2015) Nanoparticle-allergen interactions mediate human allergic responses: protein corona characterization and cellular responses. *Fibre toxicology* 13: 3.
- [38] Cedervall T, Lynch I, Lindman S, Berggård T, Thulin E, et al. (2016) Understanding the nanoparticle-protein corona using methods to quantify exchange rates and affinities of proteins for nanoparticles. *PNAS* 104 (7): 2050-2055.
- [39] Lynch I, Cedervall T, Lundqvist M, Cabaleiro-Lago C, Linse S, et al. (2007) The nanoparticle-protein complex as a biological entity; a complex fluids and surface science challenge for the 21st century. *Advances in Colloid and Interface Science* 134-135: 167-174.
- [40] Gatti AM, Quaglino D, Sighinolfi GL (2009) A Morphological Approach to Monitor the Nanoparticle-Cell Interaction. *International Journal of Imaging and Robotics* 2: 2-21.
- [41] Urban RM, Jacobs JJ, Gilbert JL, Galante JO (1994) Migration of corrosion products from modular hip prostheses. Particle microanalysis and histopathological findings. *The Journal of Bone and Joint Surgery* 76(9): 1345-1359.
- [42] Kirkpatrick CJ, Barth S, Gerdes T, Krump-Konvalinkova V, Peters (K 2002) Pathomechanisms of impaired wound healing by metallic corrosion products. *Mund Kiefer Gesichtschir* 6(3): 183-190.
- [43] Lee SH, Brennan FR, Jacobs JJ, Urban RM, Ragasa DR, et al. (1997) Human monocyte/macrophage response to cobalt-chromium corrosion products and titanium particles in patients with total joint replacements. *J Orthop Res* 15(1): 40-49.

- [44] Shaw CA, Seneff S, Kette SD, Tomljenovic L, Oller Jr JW, et al. (2014) Aluminum-Induced Entropy in Biological Systems: Implications for Neurological Disease. *Journal of Toxicology* 2014: 491316.
- [45] Shaw CA, Kette SD, Davidson RM, Seneff S (2013) Aluminum<sup>TM</sup>s Role in CNS-immune System Interactions leading to Neurological Disorders. *Immunome Research* 9: 069.
- [46] Seneff S, Swanson N, Chen Li (2015) Aluminum and Glyphosate Can Synergistically Induce Pineal Gland Pathology: Connection to Gut Dysbiosis and Neurological Disease. *Agricultural Sciences* 6(1): 42- 70.
- [47] Pegaz B, Debeve E, Ballini JP, Konan-Kouakou YN, van den Bergh HJ (2006) Effect of nanoparticle size on the extravasations and the photothrombic activity of meso(p-tetracarboxyphenyl)porphyrin. *J Photochem Photobiol B* 85(3): 216-222.
- [48] Brinth LS, Pors K, Hoppe AG, Badreldin I, Mehlsen J (2015) Is Chronic Fatigue Syndrome/Myalgic Encephalomyelitis a Relevant Diagnosis in Patients with Suspected Side Effects to Human Papilloma Virus Vaccine? *International Journal of Vaccines and Vaccination* 1(1):1-5.
- [49] Moos WH, Faller DV, Harpp DN, Kanara I, Pernokas J, et al. (2016) Microbiota and Neurological Disorders: A Gut Feeling. *Biores Open Access* 5(1): 137-145.
- [50] Sekirov I, Russell SL, Caetano L, Antunes M, Brett (2010) Gut Microbiota in Health and Disease. *Physiological Rev* 90(3): 859-904.
- [51] Umbrello G, Esposito S (2016) Microbiota and neurologic diseases: potential effects of probiotics. *J Transl Med* 14(1): 298.
- [52] Kinoshita T, Abe RT, Hineno A, Tsunekawa K, Nakane S, et al. (2014) Peripheral sympathetic nerve dysfunction in adolescent Japanese girls following immunization with the human papillomavirus vaccine. *Intern Med* 53(19): 2185-2200.
- [53] Zhang L, Richards A, Khalil A, Wogram E, Ma H, Young RA, Jaenisch R. SARS-CoV-2 RNA reverse-transcribed and integrated into the human genome. *bioRxiv* [Preprint]. 2020 Dec 13:2020.12.12.422516. doi: 10.1101/2020.12.12.422516. PMID: 33330870; PMCID: PMC7743078.
- [54] Young, RO, "Forget Everything Else! Look at THE VAER's NUMBERS on Injuries and Deaths!" <https://www.drrobertyoung.com/post/forget-everything-else-you-ve-heard-just-look-at-the-numbers5>
- [55] Young, RO, "CDC NOW Admits NO 'Gold Standard' for the Isolation for ANY Virus!" <https://www.drrobertyoung.com/post/cdc-now-admits-no-gold-standard-for-the-isolation-for-any-virus>
- [56] Young, RO, "The Genesis of Severe Acute Respiratory (Syndrome) or SARS & Corona Virus or COVID - 19." <https://www.drrobertyoung.com/post/the-genesis-of-severe-acute-respiratory-syndrome-or-sars-corona-virus-or-covid-19>
- [57] Young, RO, "What Causes Oxygen Deprivation of the Blood(DIC) and Then Lungs(SARS - CoV 2 & 19)?" <https://www.drrobertyoung.com/post/what-causes-oxygen-deprivation>
- [58] Young RO, Migalko G (2020) What Causes Oxygen Deprivation of the Blood(DIC) and Then Lungs(SARS - CoV 2 & 12)?. *Integ Mol Bio Biotechnol* 1: 001-007. <http://sciaeon.org/articles/What-Causes-Oxygen-Deprivation-of-the-Blood-DIC-and-Then-Lungs-SARS-CoV2and12.pdf>

[59] Young RO (2016) Who Had Their Finger on the Magic of Life - Antoine Bechamp or Louis Pasteur?. Int J Vaccines Vaccin 2(5): 00047. DOI: [10.15406/ijvv.2016.02.00047](https://doi.org/10.15406/ijvv.2016.02.00047)

[60] Young RO (2016) Second Thoughts about Viruses, Vaccines, and the HIV/AIDS Hypothesis - Part 1. Int J Vaccines Vaccin 2(3): 00032. DOI: [10.15406/ijvv.2016.02.00032](https://doi.org/10.15406/ijvv.2016.02.00032)

<https://medcraveonline.com/IJVV/second-thoughts-about-viruses-vaccines-and-the-hiv-aids-hypothesis---part-1.html>

[61] Young RO (2016) Second Thoughts Concerning Viruses, Vaccines and the HIV/AIDS Hypothesis - Part 2. Int J Vaccines Vaccin 2(3): 00034. DOI: [10.15406/ijvv.2016.02.00034](https://doi.org/10.15406/ijvv.2016.02.00034)

<https://medcraveonline.com/IJVV/second-thoughts-concerning-viruses-vaccines-and-the-hiv-aids-hypothesis---part-2.html>

[62] Young RO (2016) Second Thoughts Concerning Viruses, Vaccines and the HIV/AIDS Hypothesis - Part 3 HIV/AIDS and the Monomorphic Disease Model. Int J Vaccines Vaccin 2(3): 00035. DOI: [10.15406/ijvv.2016.02.00035](https://doi.org/10.15406/ijvv.2016.02.00035)

<https://medcraveonline.com/IJVV/second-thoughts-concerning-viruses-vaccines-and-the-hiv-aids-hypothesis---part-3-hiv-aids-and-the-monomorphic-disease-model.html>

[63] Wu HY, Lin KJ, Wang PY, Lin CW, Yang HW, Ma CC, Lu YJ, Jan TR. Polyethylene glycol-coated graphene oxide attenuates antigen-specific IgE production and enhanced antigen-induced T-cell reactivity in ovalbumin-sensitized BALB/c mice. Int J Nanomedicine. 2014 Sep 8;9:4257-66. doi: 10.2147/IJN.S66768. PMID: 25228804; PMCID: PMC4162634.

[64] Xu L, Xiang J, Liu Y, Xu J, Luo Y, Feng L, Liu Z, Peng R. Functionalized graphene oxide serves as a novel vaccine nano-adjuvant for robust stimulation of cellular immunity. Nanoscale. 2016 Feb 14;8(6):3785-95. doi: 10.1039/c5nr09208f. Epub 2016 Jan 27. PMID: 26814441.

[65] Xu L, Xiang J, Liu Y, Xu J, Luo Y, Feng L, Liu Z, Peng R. Functionalized graphene oxide serves as a novel vaccine nano-adjuvant for robust stimulation of cellular immunity. Nanoscale. 2016 Feb 14;8(6):3785-95. doi: 10.1039/c5nr09208f. Epub 2016 Jan 27. PMID: 26814441.

[66] Cao W, He L, Cao W, Huang X, Jia K, Dai J. Recent progress of graphene oxide as a potential vaccine carrier and adjuvant. Acta Biomater. 2020 Aug;112:14-28. doi: 10.1016/j.actbio.2020.06.009. Epub 2020 Jun 10. PMID: 32531395.

[67] Nano coronavirus recombinant vaccine taking graphene oxide as carrier - Patent

<https://patents.google.com/patent/CN112220919A/en>

L'invention appartient au domaine des nanomatériaux et de la biomédecine, et concerne un vaccin, en particulier le développement d'un nano-vaccin recombinant nucléaire contre le coronavirus 2019-nCoV. L'invention comprend également un procédé de préparation du vaccin et l'application du vaccin dans des expérimentations animales. Le nouveau vaccin corona contient de l'oxyde de graphène, de la carnosine, du CpG et un nouveau virus corona RBD ; la liaison de la carnosine, du CpG et du néocoronavirus RBD sur le squelette de l'oxyde de graphène ; la séquence codante CpG est représentée par SEQ ID NO 1; le nouveau coronavirus RBD fait référence à une nouvelle région de liaison au récepteur de protéine de coronavirus qui peut générer un anticorps spécifique à titre élevé visant le RBD dans un corps de souris, et fournit un support solide pour la prévention et le traitement du nouveau coronavirus.

[68] Takizawa K, Aoyagi A, Takada J, Katayama N, Yekeh K, Takehiko Y, Kohno KR. **Channel models for wireless body area networks.** Annu Int Conf IEEE Eng Med Biol Soc. 2008;2008:1549-52. doi: 10.1109/IEMBS.2008.4649465. PMID: 19162968.

[69] Le, Thien T T, and Sangman Moh. **"Interference Mitigation Schemes for Wireless Body Area Sensor Networks: A Comparative Survey."** *Sensors (Basel, Switzerland)* vol. 15,6 13805-38. 11 Jun. 2015, doi:10.3390/s150613805

[70] **"Project: Soul Catcher: Secrets of Cyber and Cybernetic Warfare Revealed"** Paperback – September 27, 2010. Le volume 2 détaille les pratiques d'interrogatoire et de contrôle de l'esprit cybernétique de la CIA dans leur quête pour militariser la neuropsychologie. Il couvre l'art de la guerre de la bio-communication. Les êtres humains sont des machines complexes mais leur fonctionnement interne a été déchiffré. Le contrôle mental et le lavage de cerveau ont été perfectionnés au cours des 60 dernières années. Le piratage d'ordinateurs et le piratage d'esprits individuels sont similaires. Le 21ème siècle sera connu comme l'ère des machines spirituelles et des hommes sans âme.

[https://www.amazon.com/Project-Catcher-Secrets-Cybernetic-Revealed/dp/1452804087/ref=asc\\_df\\_1452804087/?tag=hyprod-20&linkCode=df0&hvadid=312128454859&hvpos=&hvnetw=g&hvrnd=10418004802487893016&hvpone=&hvpstwo=&hvqmt=&hvdev=c&hvdvcmld=&hvlocint=&hvlocphy=9004410&hvtargid=pla-560212038209&psc=1](https://www.amazon.com/Project-Catcher-Secrets-Cybernetic-Revealed/dp/1452804087/ref=asc_df_1452804087/?tag=hyprod-20&linkCode=df0&hvadid=312128454859&hvpos=&hvnetw=g&hvrnd=10418004802487893016&hvpone=&hvpstwo=&hvqmt=&hvdev=c&hvdvcmld=&hvlocint=&hvlocphy=9004410&hvtargid=pla-560212038209&psc=1)

[71] Mehrotra, Parikha et al. **"EM-Wave Biosensors: A Review of RF, Microwave, mm-Wave and Optical Sensing."** *Sensors (Basel, Switzerland)* vol. 19,5 1013. 27 Feb. 2019, doi:10.3390/s19051013

[72] **Ferritin Nanoparticle Compositions and Methods to Modulate Cell activity granted a Patent US10786570B2 on 09-29-2020 to Jerffery Friedman and the Rockefeller University**

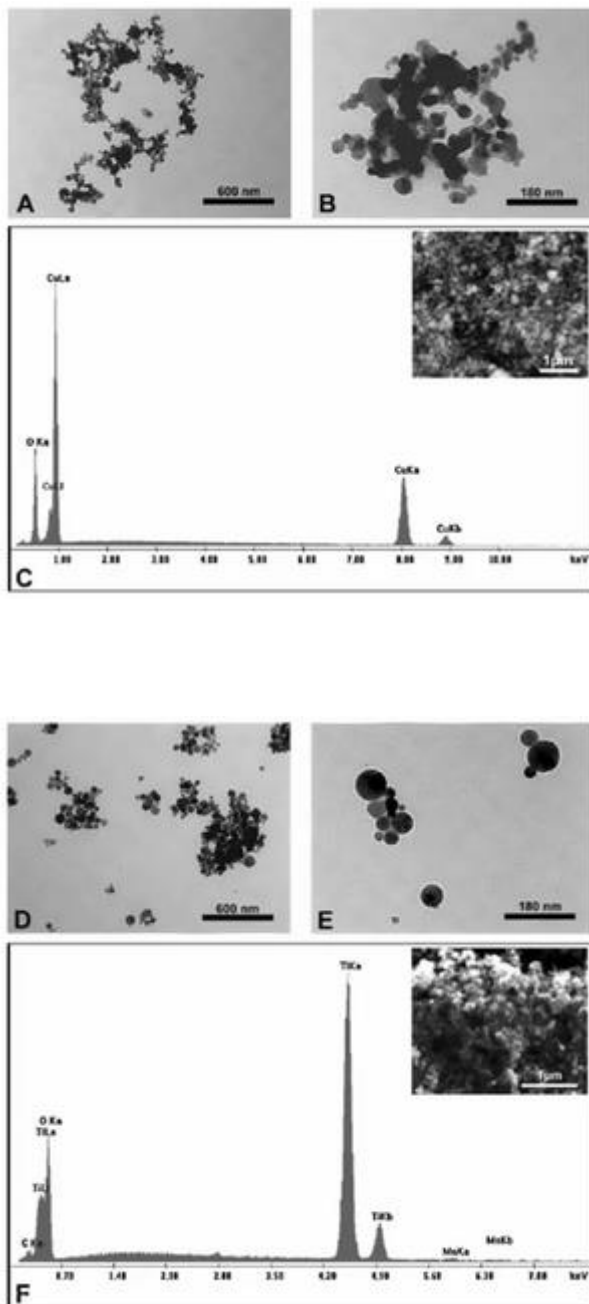
WO US [US10786570B2](#) Jeffrey Friedman The Rockefeller University Priority 2011-08-24 • Filed 2018-07-30 • Granted 2020-09-29 • Published 2020-09-29 : La présente invention concerne des procédés et des compositions pour le contrôle à distance de la fonction cellulaire basés sur l'utilisation d'ondes radiofréquence pour exciter des nanoparticules ciblées sur des types cellulaires spécifiques. Les nanoparticules peuvent être appliquées à la cellule cible de manière extracellulaire et/ou exprimées de manière intracellulaire.

[73] Ou, L., Song, B., Liang, H. *et al.* **"Toxicity of graphene-family nanoparticles: a general review of the origins and mechanisms."** *Part Fibre Toxicol* **13**, 57 (2016). <https://doi.org/10.1186/s12989-016-0168-y>

[74] **"Graphene Ribbons Show Promise as Semiconductors"**, Volume 86, Issue 3, Chemical and Engineering News, [Bethany Halford](#), Volume 86, Issue 4, January 28th, 2008. <https://cen.acs.org/articles/86/i4/Graphene-Ribbons.html>

[75] Ivask, Angela et al. **"Toxicity of 11 Metal Oxide Nanoparticles to Three Mammalian Cell Types <i>In V.itro</i>."** *Current Topics in Medicinal Chemistry* **15**.18 (2015): 1914–1929. Web.

[76] Moschini, Elisa, Maurizio Gualtieri, Miriam Colombo, Umberto Fascio, Marina Camatini, and Paride Mantecca. **"The Modality of Cell-Particle Interactions Drives the Toxicity of Nanosized CuO and TiO<sub>2</sub> in Human Alveolar Epithelial Cells."** *Toxicology Letters* **222**, no. 2 (2013): 102–16. doi:10.1016/J.TOXLET.2013.07.019.



[Figure 34 shows nanoparticulate characterization with TEM and SEM-EDX microscopy. (A and B) TEM micrographs reveal Copper Oxide nanoparticulate size. (C) A EDX spectrum of Copper Oxide powder. (D and E) The TEM micrographs showed Titanium Oxide and Titanium Dioxide. (F) EDX revealed a spectrum of Titanium Dioxide.[75][76]]

[77] Wanjun Cao, Lin He, Weidong Cao, Xiaobing Huang, Kun Jia, Jingying Dai, "Recent progress of graphene oxide as a potential vaccine carrier and adjuvant,"

Acta Biomaterialia, Volume 112, 2020, Pages 14-28, ISSN 1742-7061- <https://www.sciencedirect.com/science/article/abs/pii/S1742706120303>

[78] Ou, L., Song, B., Liang, H. *et al.* Toxicity of graphene-family nanoparticles: a general review of the origins and mechanisms. *Part Fibre Toxicol* **13**, 57 (2016). <https://doi.org/10.1186/s12989-016-0168-y>

[79] Wei Jiang, Ying-Ying Yang, An-Bang Guo, Study on magnetic properties of a nano-graphene bi-layer, *Carbon*, Volume 95, 2015, Pages 190-198, SSN 0008-6223 - <https://doi.org/10.1016/j.carbon.2015.07.097>. (<https://www.sciencedirect.com/science/article/pii/S0008622315301159>)

